### Estructura de la Materia 4

- 22/03 Introducción
- 29/03 Fenomenología Nuclear
- 31/03 Isospín
- 05/04 Grupos de Simetría
- 07/04 Modelo de quarks
- 12/04 Modelo de quarks (2)
- 19/04 Mesones y Color
- 21/04 Cuántica Relativista
- 26/04 Soluciones de la Ec. de Dirac
- 28/04 Fenomenología de la Ec. de Dirac
- 03/05 Covariancia de la Ec. de Dirac
- 05/05 Helicidad y Quiralidad

- 17/05 Teoría Lagrangiana de Campos
- 19/05 Teorema de Noether y 2<sup>da</sup> cuantificación
- 24/05 Simetrías de Gauge
- 26/05 Gauge no abeliano
- 31/05 Cromodinámica Cuántica
- 02/06 Interacciones Débiles
- 07/06 Unificación Electro-débil
- 09/06 Ruptura Espontánea de la Simetría
- 14/06 Generación de masas en la teoría electro-débil
  - 16/06 Oscilaciones de Neutrinos
- 21/06 Interacciones de partículas con la materia
- 23/06 Detectores y colisionadores
- 28/06 Descubrimiento del bosón de Higgs



Gustavo Otero y Garzón – UBA



# 28/06: Análisis Físicos / Descubrimiento del Higgs

### Resumen de la clase pasada

- La clase pasada continuamos discutiendo mecanismos de interacción partículamateria y su utilización en el diseño de detectores
  - Vimos que la interacción de partículas hadrónicas es principalmente vía la interacción fuerte con los núcleos
  - A diferencia de las Iluvias electromagnéticas, las Iluvias hadrónicas están sujetas a una gran variabilidad debido a los distintos tipos de decaimientos (EM, fuertes, débiles)
  - Se puede definir un análogo a la longitud de radiación electromagnética que típicamente es un orden de magnitud mayor
  - La observación experimental de un quark o un gluon es un "jet" (chorro de hadrones)
  - Los muones son partículas muy penetrantes que típicamente escapan los detectores y se observan con detectores de trazas (ionización de gases)
  - En colisionadores, los neutrinos pueden inferirse por conservación de impulso en el plano trasverso
  - Colisiones entre protones es análogo a colisiones entre sus quarks y gluones con una distribución de probabilidades
  - Discutimos porqué es importante diseñar un sistema de Trigger en colisionadores
- Hoy vamos a discutir algunos aspectos de cómo se puede utilizar lo anterior para medir observables en experimentos a altas energías

### ¿Cómo se crean partículas?

$$E=m\cdot c^2$$

- La ecuación de Einstein expresa que energía y masa son dos versiones de una misma cosa
  - ¿ Cuánta energía se necesita para crear un electrón?

$$\rightarrow$$
 E = m<sub>e</sub>c<sup>2</sup> = 8 x 10<sup>-7</sup> g km<sup>2</sup>/seg<sup>2</sup> = 0.5 MeV

$$E^2 - c^2 \cdot P^2 = m^2 \cdot c^4$$

Masa-energía para el caso mas general de una partícula en movimiento

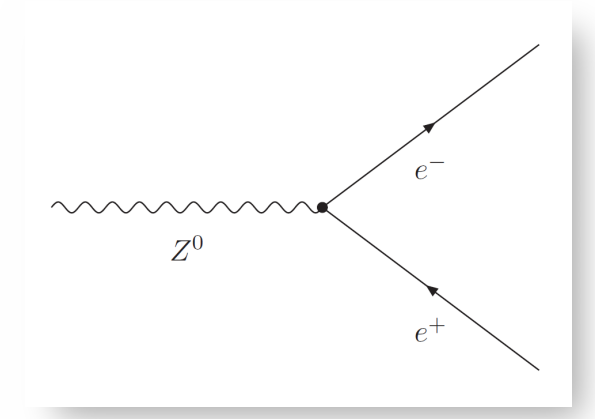
¿Cuánta energía es 0.5 MeV?

Un protón viajando a 3000 Km/s tiene una energía cinética de 0.5 MeV

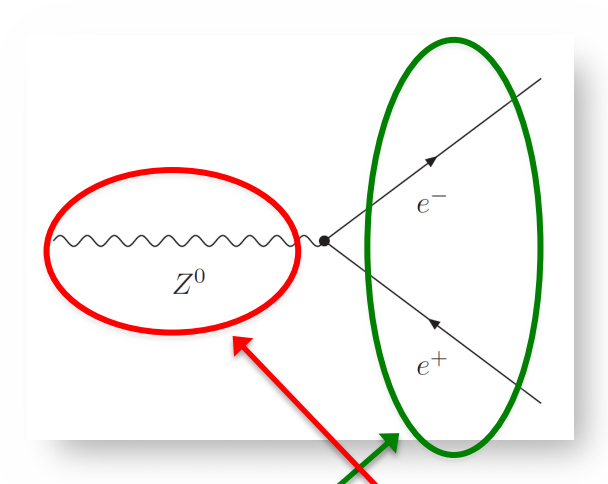
### Vida media

- Las partículas tienen características que las hacen únicas
  - Interactúan mediante distintas fuerzas y de distinta manera
- Pueden decaer en otras más livianas dependiendo de sus características
  - En promedio, tienen un "tiempo de vida" (τ) característico
  - Si inicialmente hay un cierto numero de partículas, transcurrido un tiempo τ habrá ~2/3 menos

Partícula	Vida media
electrón	>10 <sup>26</sup> años
protón	>10 <sup>29</sup> años
neutrón	15 minutos
Н	10 <sup>-22</sup> segundos
Z	10 <sup>-25</sup> segundos



### Decaimientos y masa invariante

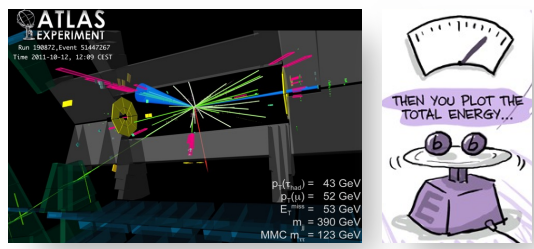


- La energía y el momento se conservan en un decaimiento
- "Genética": las partículas "hijas" portan la información de sus "madres"

$$(E_1 + E_2)^2 - c^2 \cdot (P_1 + P_2)^2 = m^2 \cdot c^4$$

### ¿Cómo identificar a la "madre"?

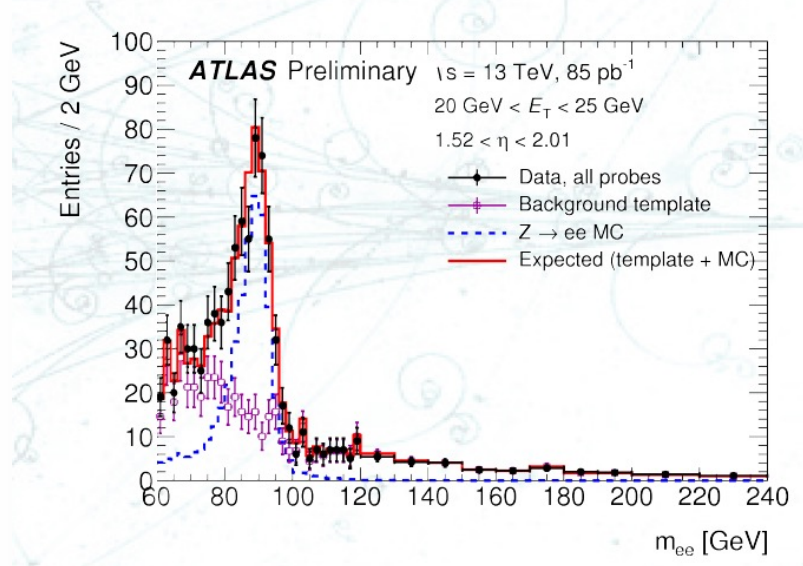
- Si buscamos el Z decayendo a e<sup>+</sup>e<sup>-</sup>:
  - Identificar eventos con un par e<sup>+</sup>e<sup>-</sup>



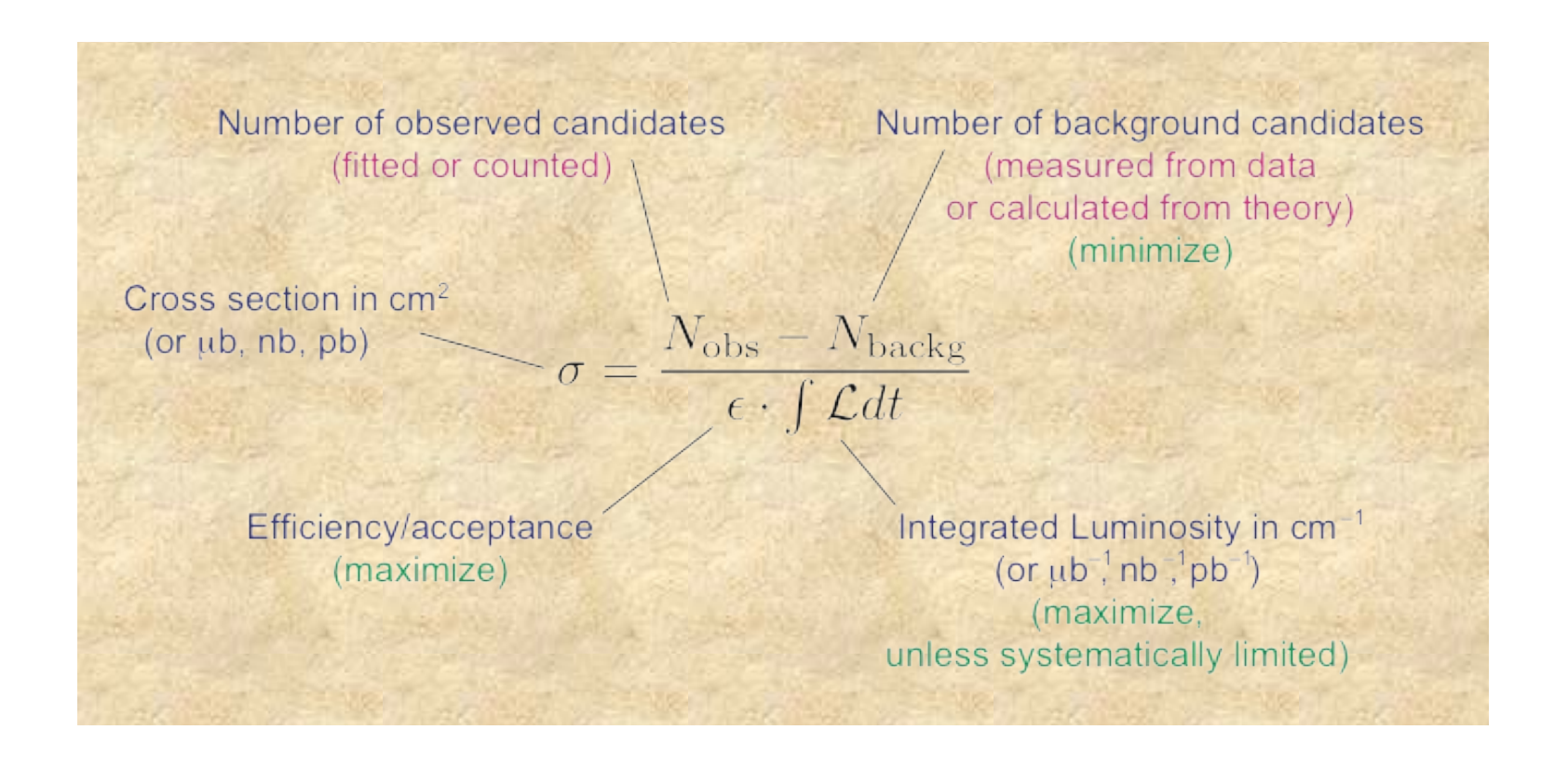


No sabemos si este par proviene de un Z ("señal") o no tiene nada que ver con él ("fondo")

- Pero si vienen de un decaimiento, la masa invariante ES la masa de la madre
- Hay que contar cuantos eventos tienen partículas "hijas" para distintos valores de masa invariante

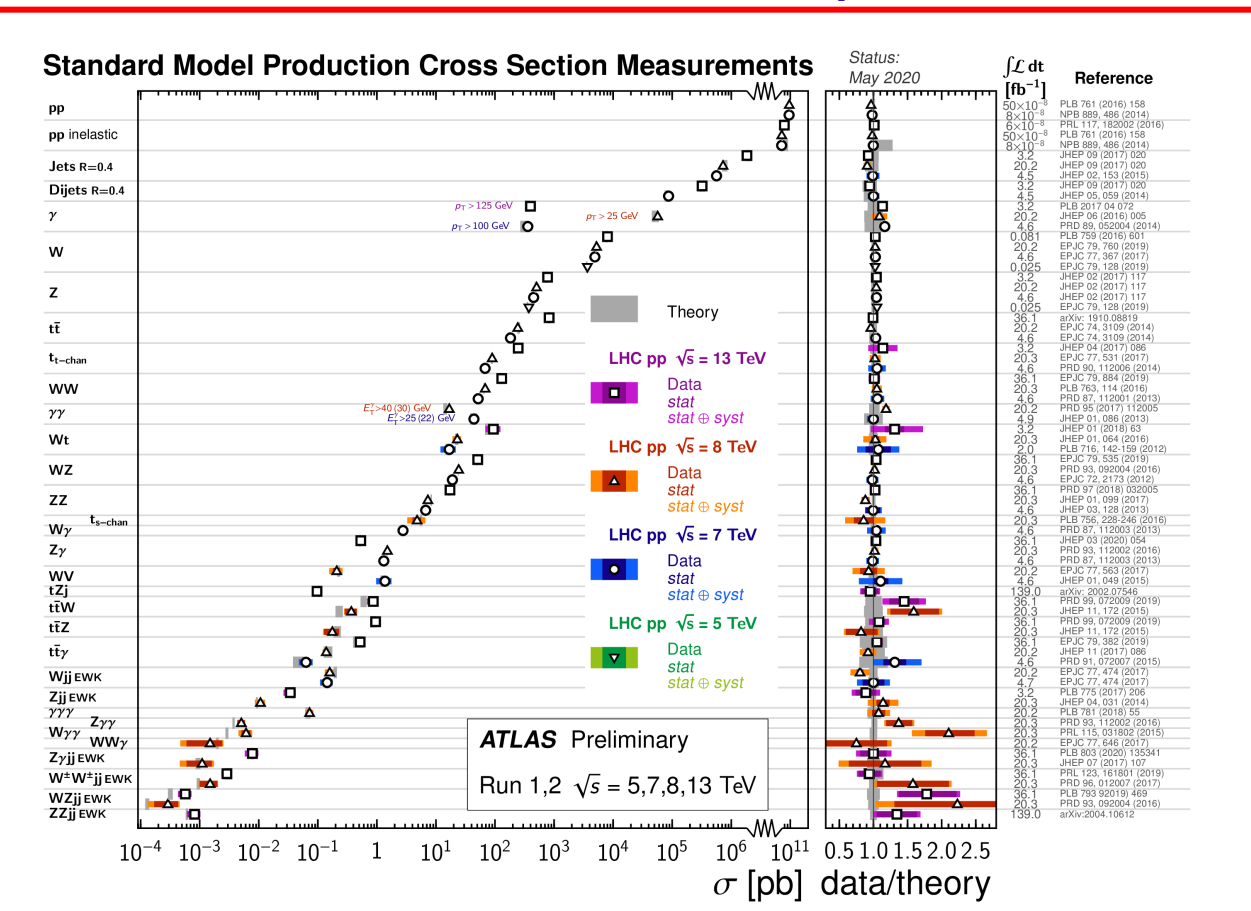


### Receta para medir una sección eficaz



### ¿Dónde estamos parados?

#### Antes de buscar Nueva Física tenemos que entender el SM



### El Modelo Estándar

Teoría que unifica todo nuestro conocimiento acerca de las partículas fundamentales y sus interacciones basada en simetrías de la naturaleza

$$\mathcal{L} = -\frac{1}{4}B_{\mu\nu}B^{\mu\nu} - \frac{1}{8}tr(\mathbf{W}_{\mu\nu}\mathbf{W}^{\mu\nu}) - \frac{1}{2}tr(\mathbf{G}_{\mu\nu}\mathbf{G}^{\mu\nu}) \qquad (U(1), SU(2) \text{ and } SU(3) \text{ gauge terms})$$

$$+(\bar{\nu}_L, \bar{e}_L) \dot{\sigma}^{\mu}iD_{\mu} \begin{pmatrix} \nu_L \\ e_L \end{pmatrix} + \bar{e}_R \sigma^{\mu}iD_{\mu}e_R + \bar{\nu}_R \sigma^{\mu}iD_{\mu}\nu_R \qquad (\text{lepton dynamical term})$$

$$-\frac{\sqrt{2}}{v} \left[ (\bar{\nu}_L, \bar{e}_L) \phi M^e e_R + \bar{e}_R M^{e*} \bar{\phi} \begin{pmatrix} \nu_L \\ e_L \end{pmatrix} \right] \qquad (\text{electron, muon, tauon mass term})$$

$$-\frac{\sqrt{2}}{v} \left[ (-\bar{e}_L, \bar{\nu}_L) \phi^* M^{\nu} \nu_R + \bar{\nu}_R M^{\nu*} \phi^T \begin{pmatrix} -e_L \\ \nu_L \end{pmatrix} \right] \qquad (\text{neutrino mass term})$$

$$+(\bar{u}_L, \bar{d}_L) \tilde{\sigma}^{\mu}iD_{\mu} \begin{pmatrix} u_L \\ d_L \end{pmatrix} + \bar{u}_R \sigma^{\mu}iD_{\mu}u_R + \bar{d}_R \sigma^{\mu}iD_{\mu}d_R \qquad (\text{quark dynamical term})$$

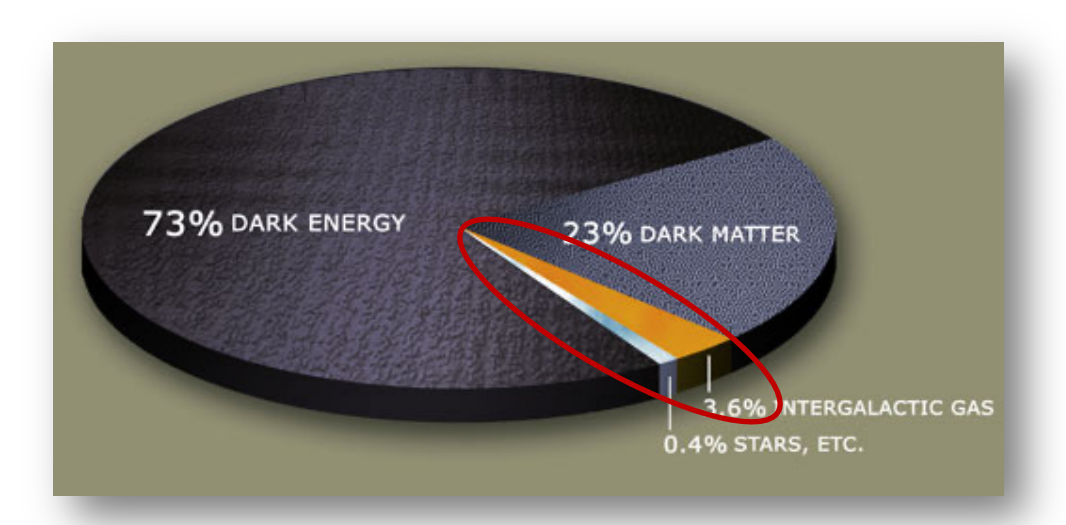
$$-\frac{\sqrt{2}}{v} \left[ (\bar{u}_L, \bar{d}_L) \phi M^d d_R + \bar{d}_R M^{d*} \bar{\phi} \begin{pmatrix} u_L \\ d_L \end{pmatrix} \right] \qquad (\text{down, strange, bottom mass term})$$

$$-\frac{\sqrt{2}}{v} \left[ (-\bar{d}_L, \bar{u}_L) \phi^* M^u u_R + \bar{u}_R M^{u*} \phi^T \begin{pmatrix} -d_L \\ u_L \end{pmatrix} \right] \qquad (\text{up, charmed, top mass term})$$

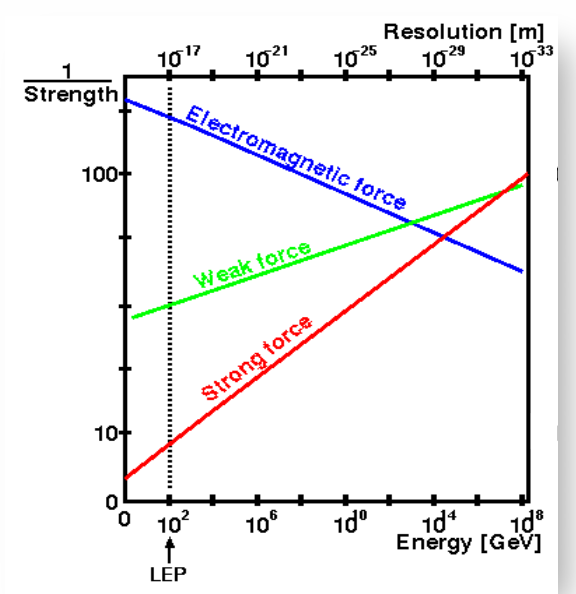
$$+ \overline{(D_{\mu}\phi)} D^{\mu}\phi - m_h^2 [\bar{\phi}\phi - v^2/2]^2/v^2, \qquad (\text{Higgs dynamical and mass term})$$

- Pro's:
  - altamente predictivo
  - no existe aún ningún experimento que esté en desacuerdo!
- Con's:
  - No incluye la gravedad

- Pro's:
  - altamente predictivo
  - no existe aún ningún experimento que esté en desacuerdo!
- Con's:
  - No incluye la gravedad
  - Describe solo el 4% del universo



- Pro's:
  - altamente predictivo
  - no existe aún ningún experimento que esté en desacuerdo!
- Con's:
  - No incluye la gravedad
  - Describe solo el 4% del universo
  - No permite unificación de fuerzas

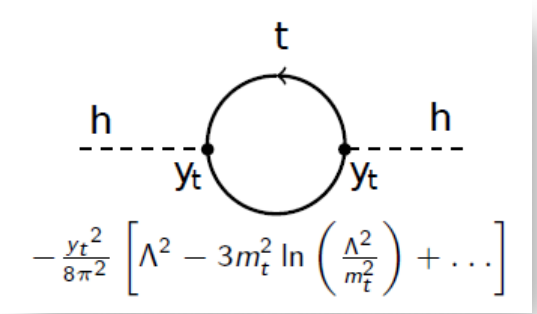


#### Pro's:

- altamente predictivo
- no existe aún ningún experimento que esté en desacuerdo!

#### Con's:

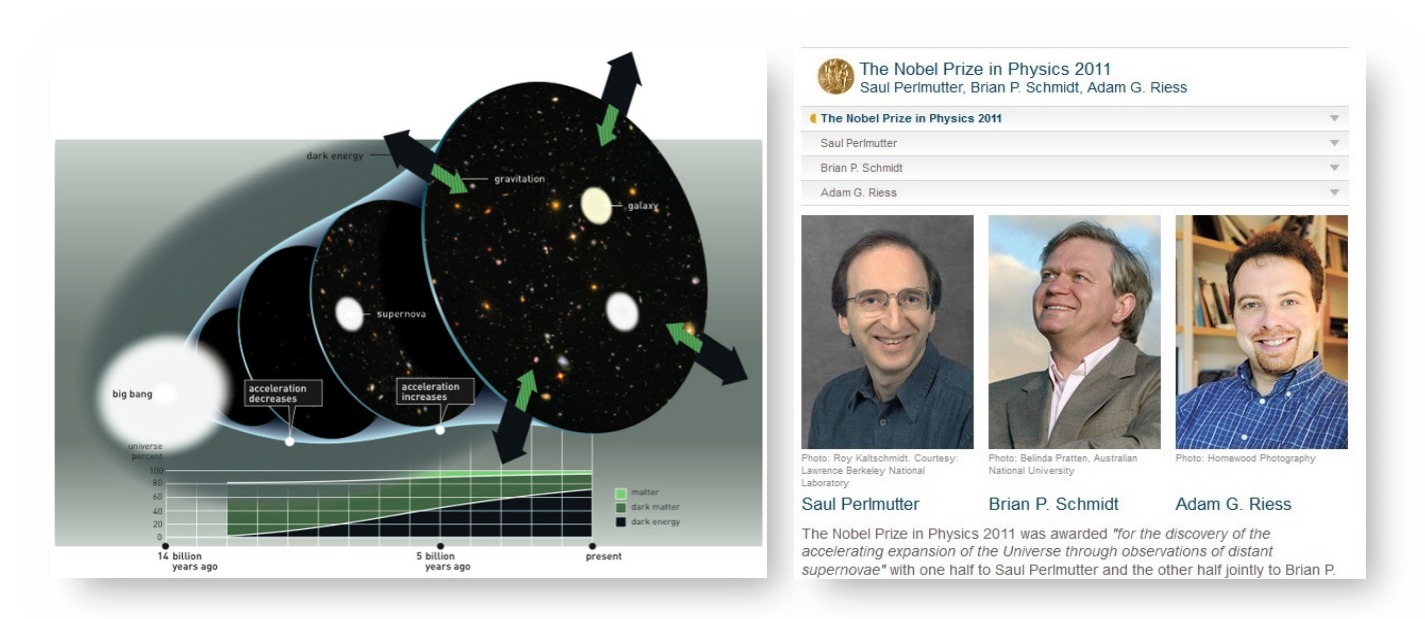
- No incluye la gravedad
- Describe solo el 4% del universo
- No permite unificación de fuerzas
- No explica la "jerarquía de masas"



La masa del Higgs recibe correcciones perturbativas que divergen pero se cancelan "magicamente" ("fine tunning")

### Algunos misterios

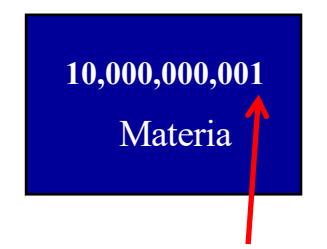
El ME no puede explicar porqué el universo se expande aceleradamente, esto se entiende con la presencia de energía oscura



### Algunos misterios

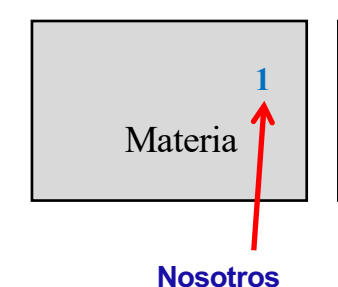
#### El ME no puede explicar (completamente) la asimetría entre materia y antimateria

Inmediatamente después del Big-Bang



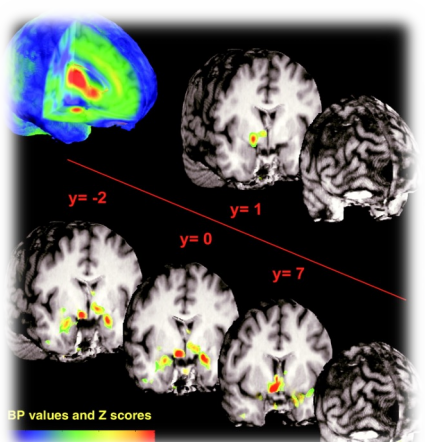


Luego de una gran aniquilación





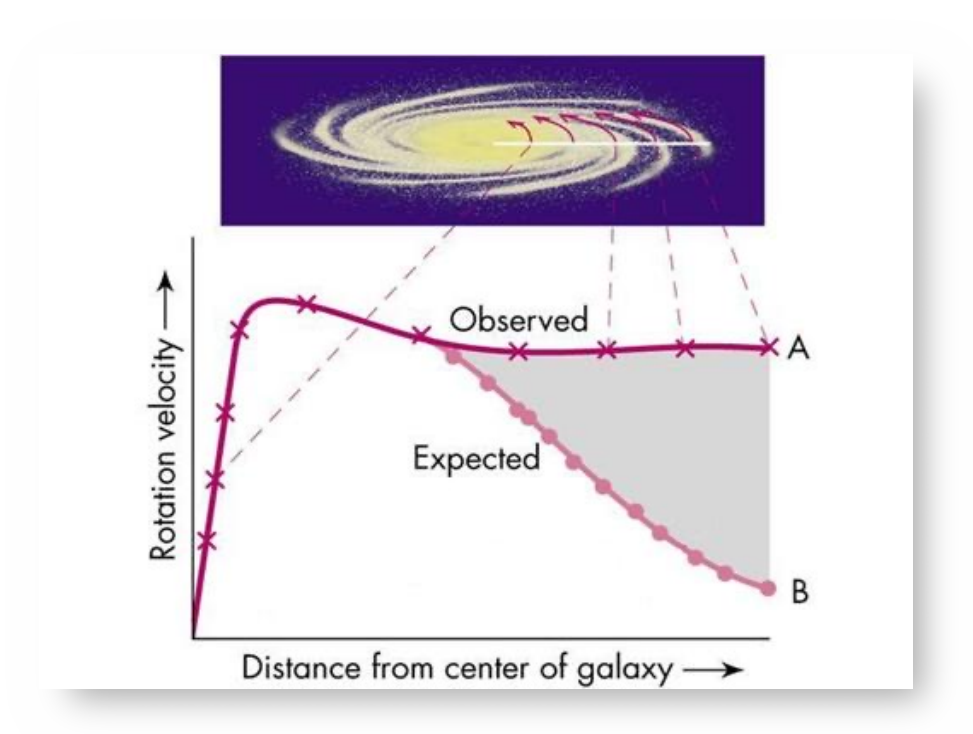
Fijense en este 1





# Algunos misterios

#### Observaciones cosmológicas requieren la existencia de Materia Oscura

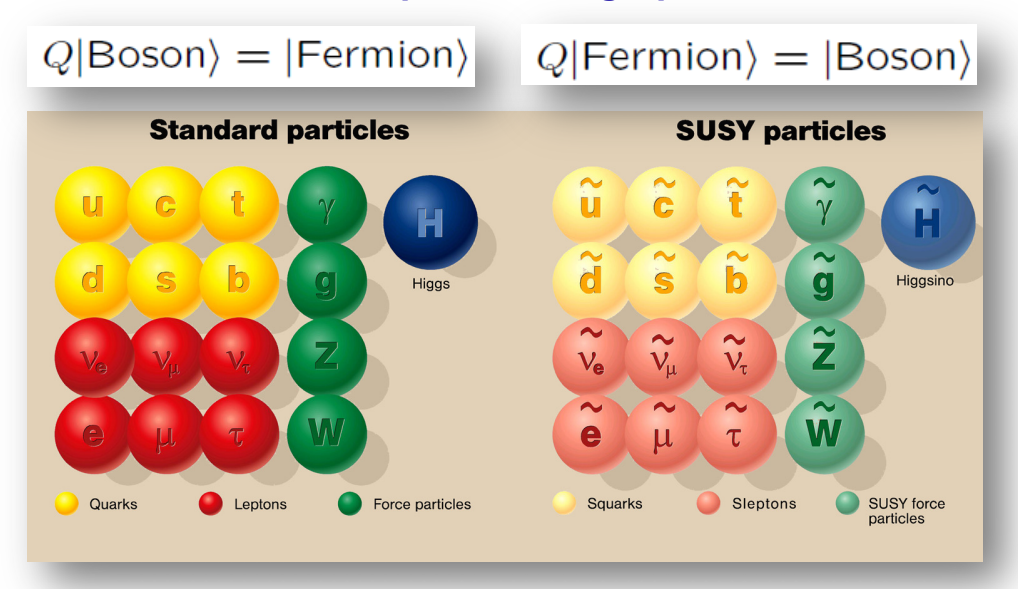


- Pro's:
  - altamente predictivo
  - no existe aún ningún experimento que esté en desacuerdo!
- Con's:
  - No incluye la gravedad
  - Describe solo el 4% del universo
  - No permite unificación de fuerzas
  - No explica la "jerarquía de masas"

El Modelo Estándar es una teoría efectiva de "bajas" energías de algo más general

### Más allá del ME: Super Simetría (SUSY)

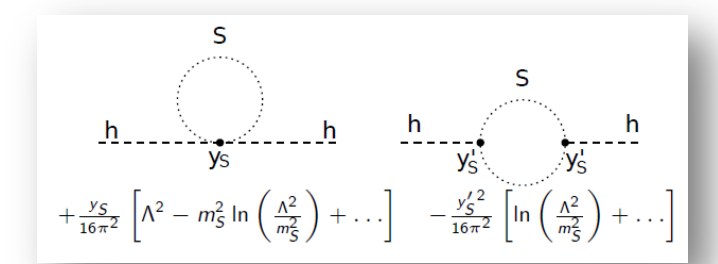
#### Única extensión posible del grupo de Poincaré



- Ninguna partícula SUSY observada aún!
  - SIMETRIA ROTA (al estilo ruptura espontánea de Higgs): nadie vió un selectrón, entonces la degeneración en masa esta rota
- partículas SUSY se crean de a pares
- la más liviana es estable (LSP = Lightest Supersimmetric Particle)

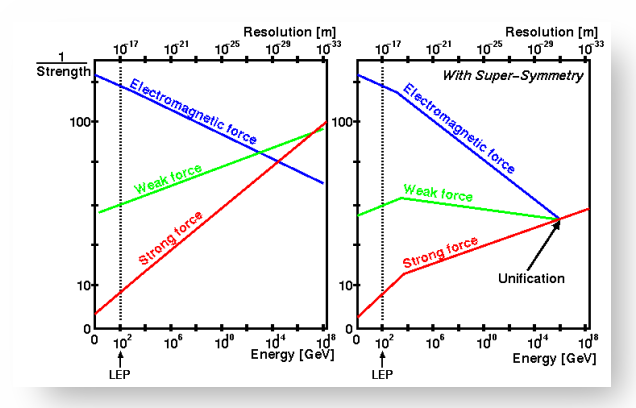
### ¿Porqué es tan linda SUSY?

- Resuelve el "problema de jerarquías"
  - Las contribuciones de SUSY a la masa del Higgs cancelan las del Modelo Estándar



Provee un candidato natural de materia oscura: el LSP

Permite una unificación de fuerzas



# DESCUBRIMIENTO DEL BOSÓN DE HIGGS

Mecanismos de Producción y Decaimiento ¿Cómo se hace esta búsqueda?

### 6 páginas que cambiaron la historia

1964

VOLUME 13, NUMBER 9

PHYSICAL REVIEW LETTERS

31 August 1964

#### BROKEN SYMMETRY AND THE MASS OF GAUGE VECTOR MESONS\*

F. Englert and R. Brout

Faculté des Sciences, Université Libre de Bruxelles, Bruxelles, Belgium (Received 26 June 1964)

2 páginas

#### BROKEN SYMMETRIES AND THE MASSES OF GAUGE BOSONS

Peter W. Higgs

Tait Institute of Mathematical Physics, University of Edinburgh, Edinburgh, Scotland (Received 31 August 1964)

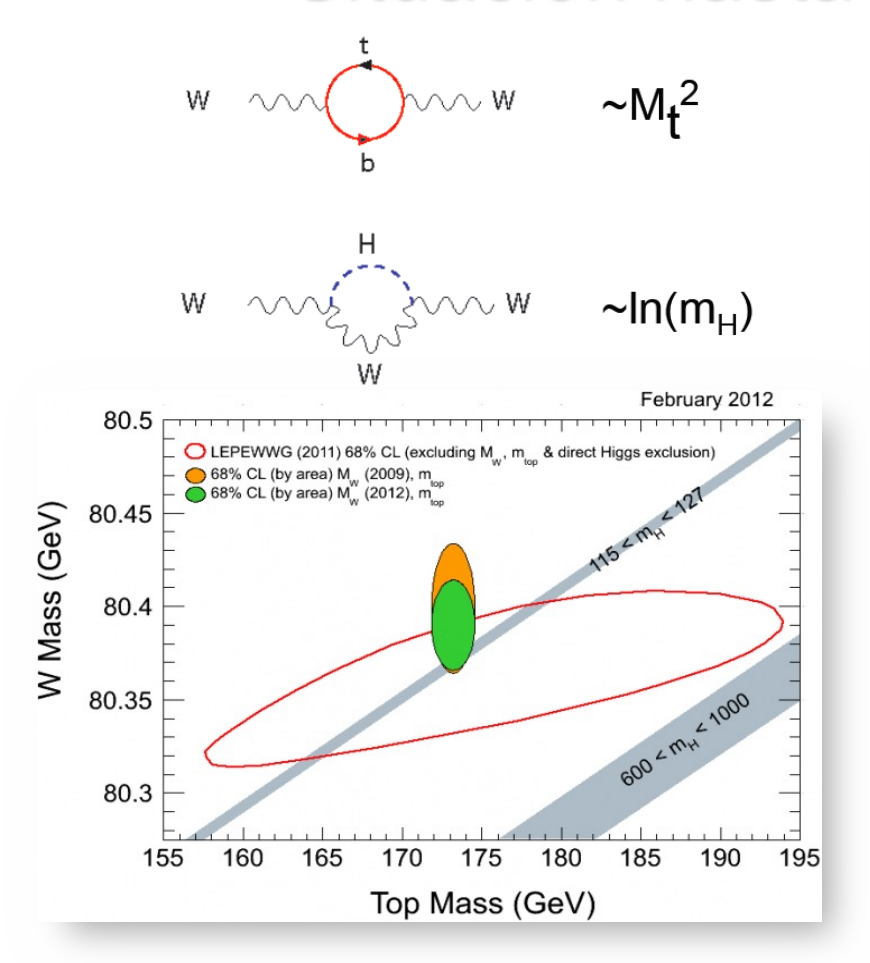
2 páginas

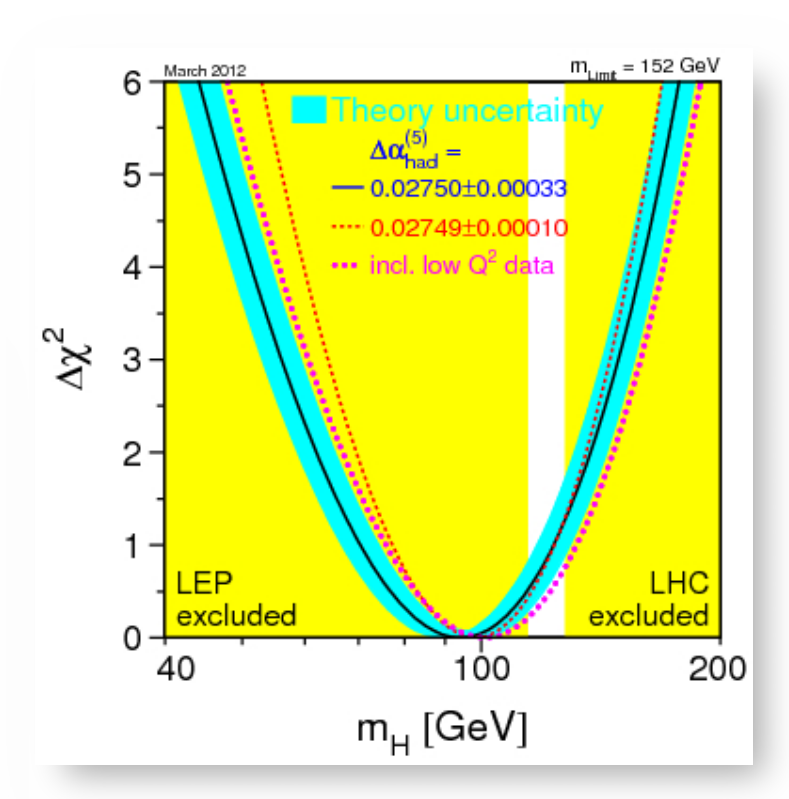
#### GLOBAL CONSERVATION LAWS AND MASSLESS PARTICLES\*

G. S. Guralnik, † C. R. Hagen, ‡ and T. W. B. Kibble Department of Physics, Imperial College, London, England (Received 12 October 1964)

2 páginas

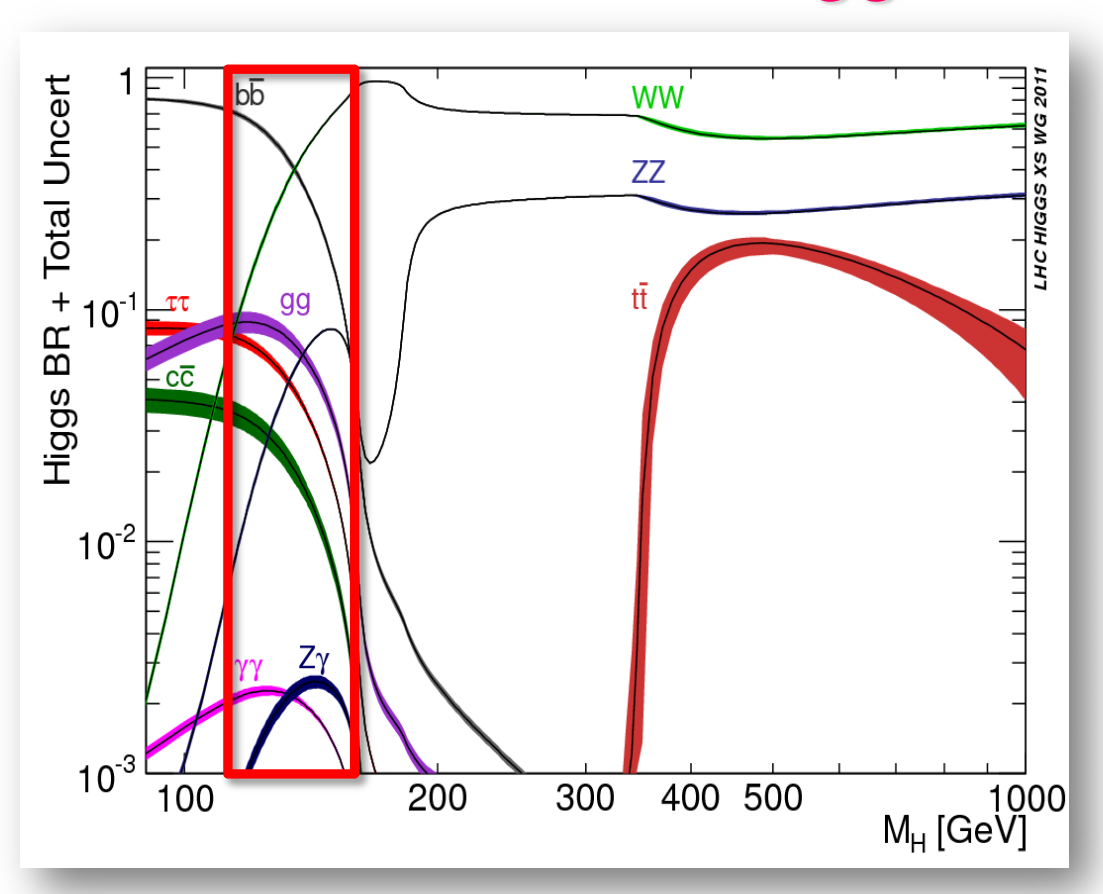
### Situación hasta hace 9 años



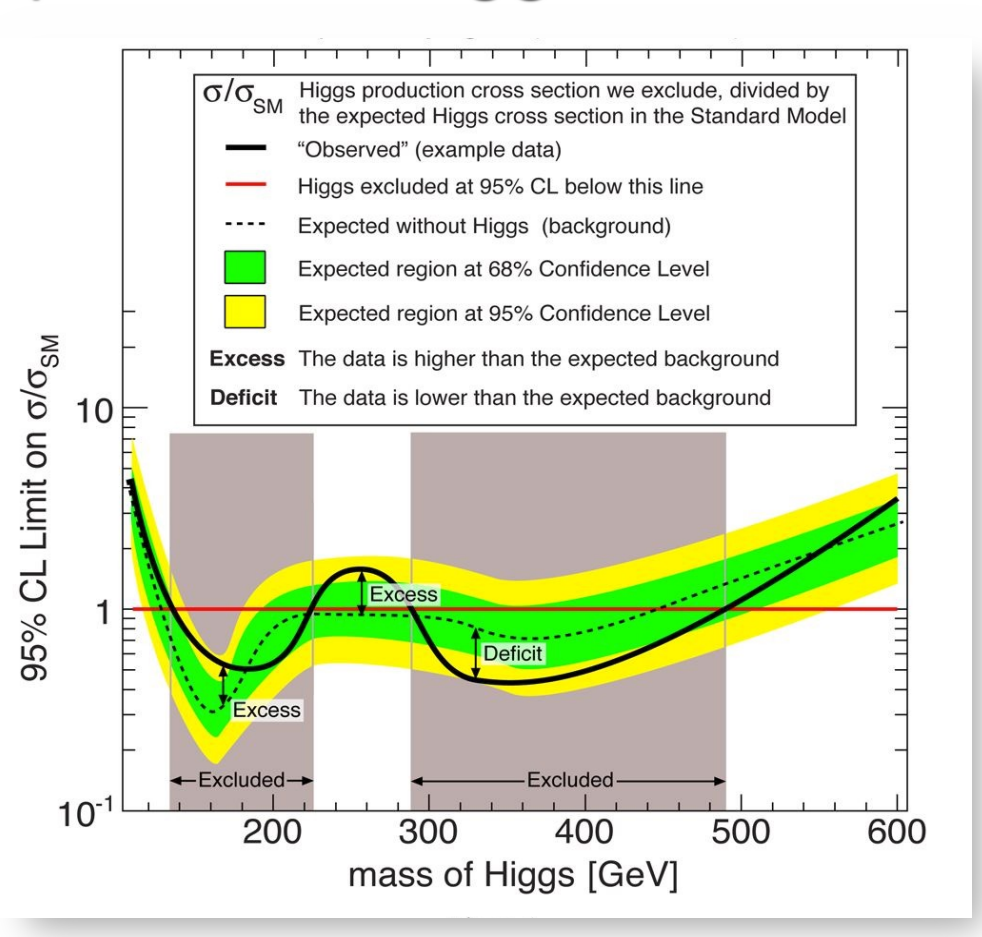


Producción de Higgs g 00000 t, b10<sup>2</sup>  $\sigma(pp \to H+X)$  [bb] √s= 8 TeV AD-3 H (NWLO+NNLL QCD + NLO EW) gluon fusion 10 ⊨ vector boson fusion 10<sup>-1</sup> 10<sup>-2</sup> WH/ZH200 300 1000 80 100 400 M<sub>⊌</sub> [GeV] ttΗ

### Decaimiento del Higgs

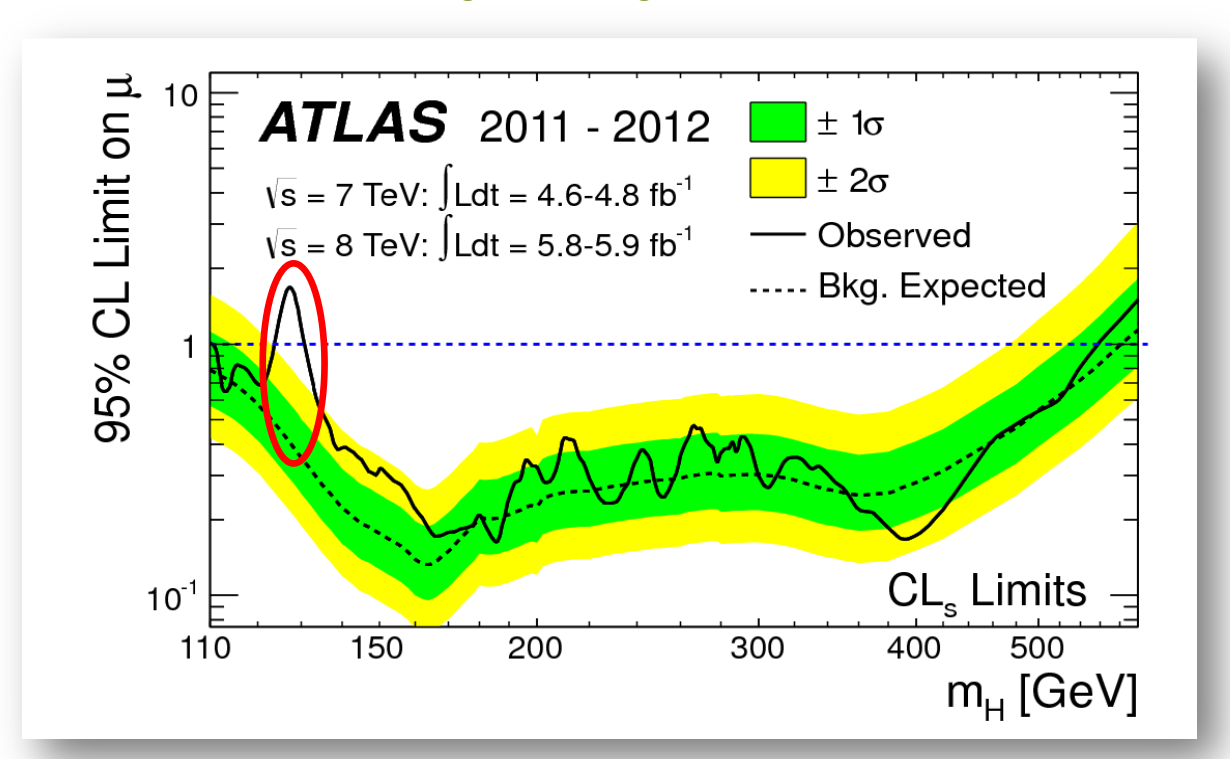


### Búsqueda del Higgs: "the basics"

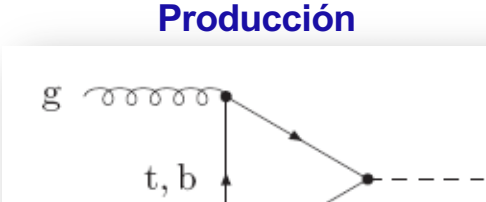


### Una nueva partícula

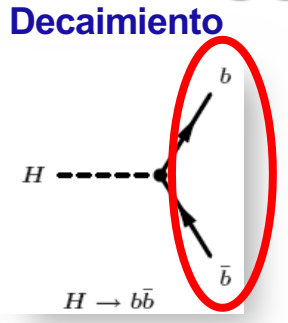
- Julio 4 de 2012: "Discovery of a Higgs-like particle at 125 GeV"
  - Sólo 2 análisis con una significancia global / local de 5.0 / 5.9  $\sigma$



### ¿Cómo es un "evento de Higgs"?



0000



Otros procesos "similares"

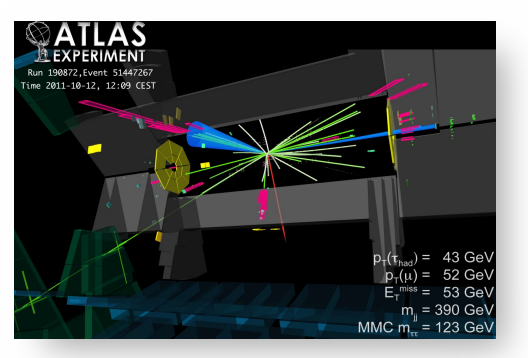


- Vemos "estados finales"
  - No podemos decir si UN evento es de Higgs o no
- ¡De cada 1.000.000.000 de estos eventos, sólo 1 es de Higgs!



### Receta para "ver" el bosón de Higgs

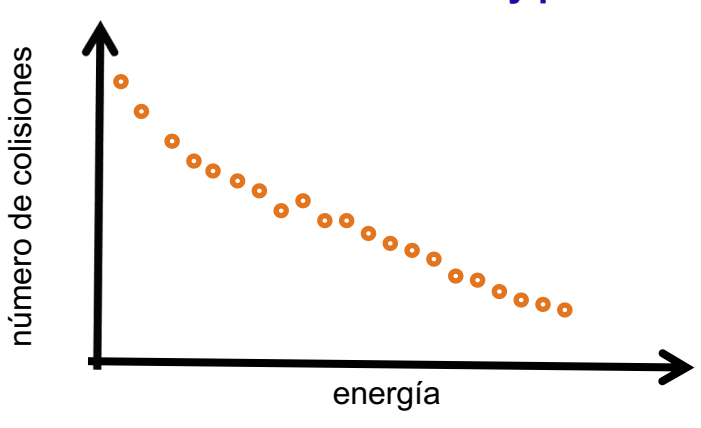
Miramos una colisión de los eventos que se parecen al Higgs



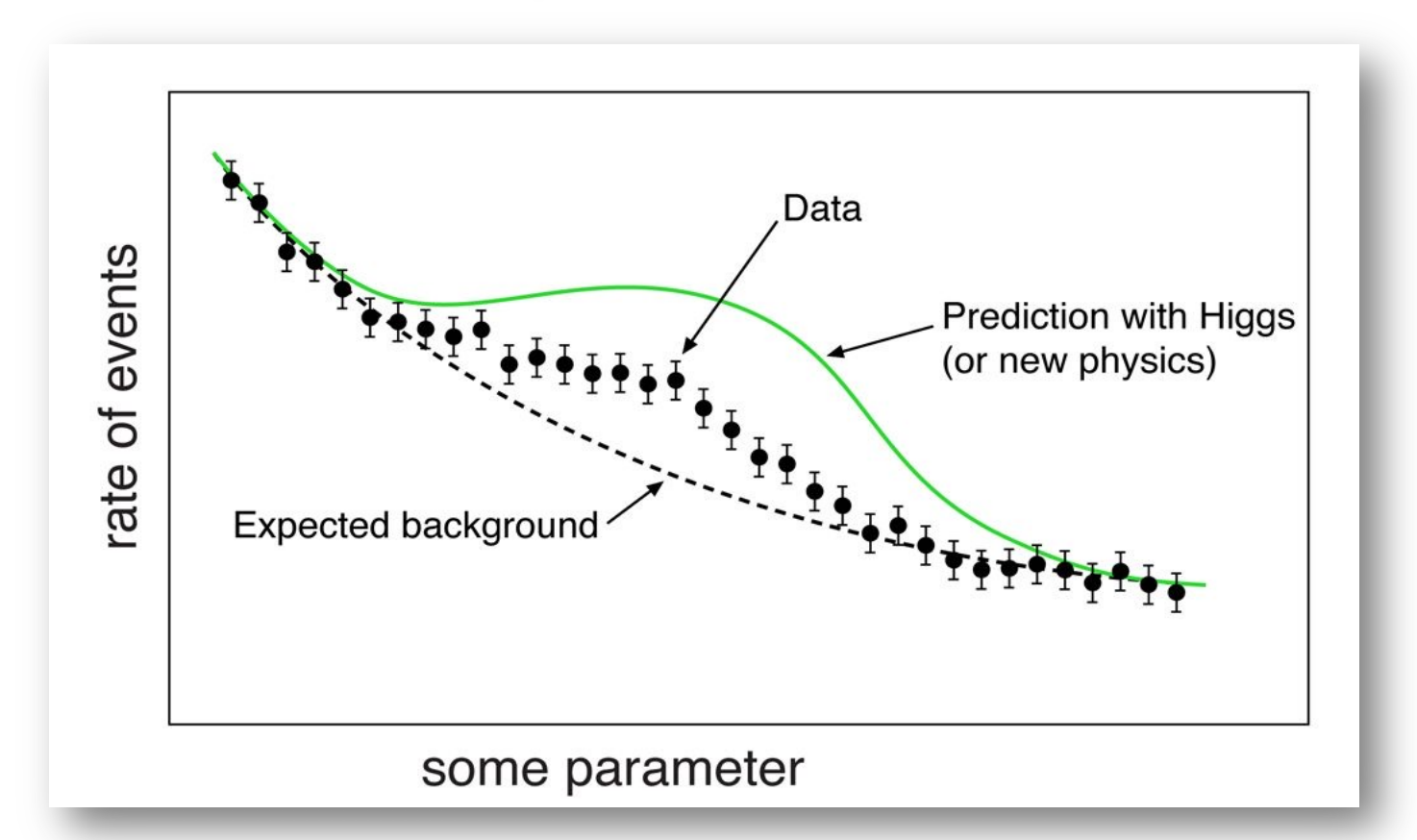


... medimos la masa de los dos "b" del estado final ...

... y contamos cuántas colisiones hay para cada energía.

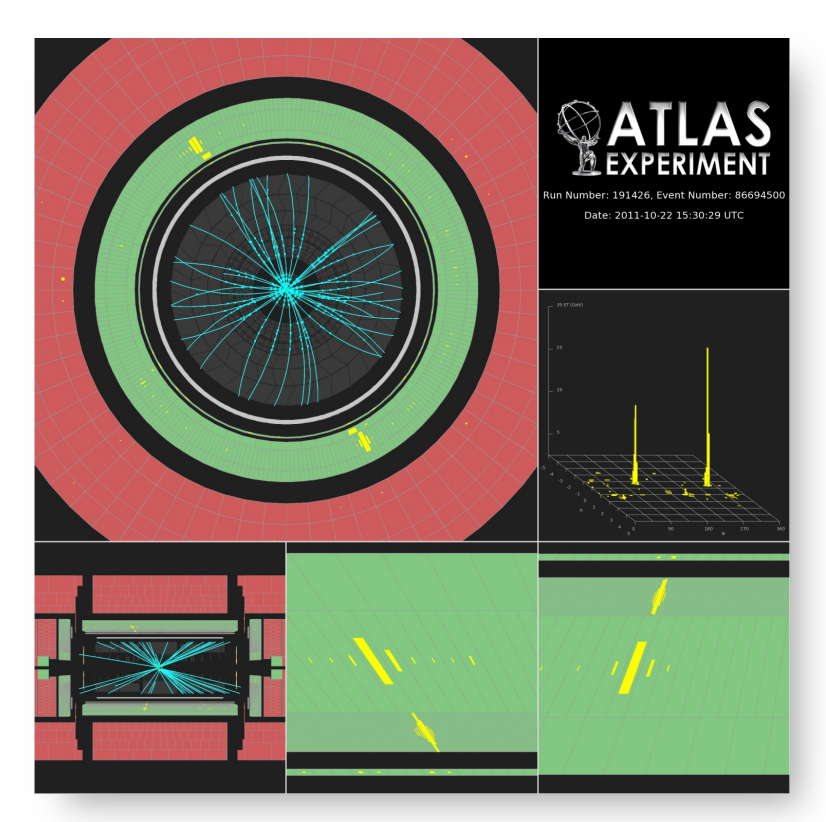


### La búsqueda: a contar ...

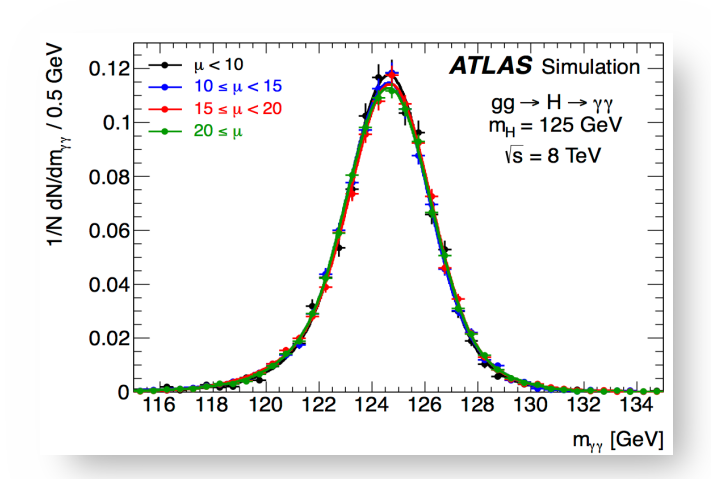


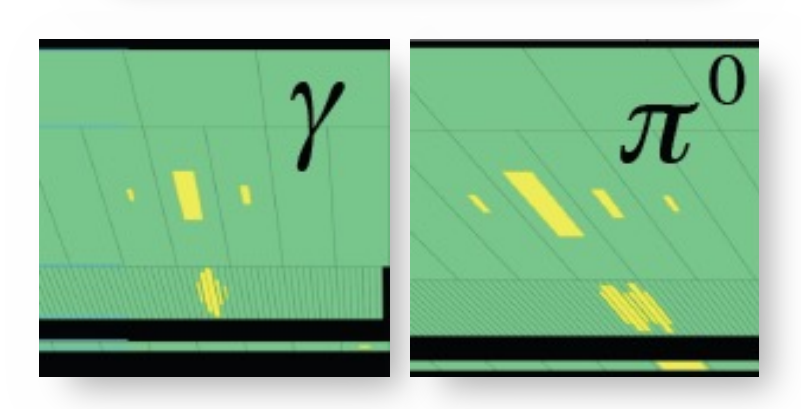
### $H \rightarrow \gamma \gamma$

- 110 < m<sub>H</sub> < 150 GeV</li>
- σ x BR ~ 50 fb @ 126 GeV
- 2 γ aislados y energéticos
  - Background: producción de 2γ
- Dividir en 10 categorías con distinta sensibilidad en base a:
  - Región del detector
  - γ convertidos o no
  - $\mathbf{p}_{\mathsf{T}}^{\gamma\gamma}$
  - Con o sin 2 jets adicionales
- Con esta selección se esperan:
  - 170 eventos de señal ( eficiencia = 40% )
  - 6340 eventos de background
  - S/B ~ 3%



### $H \rightarrow \gamma \gamma$ : puntos fuertes





# Excelente resolución en masa

$$m^2_{YY}=2 E_1 E_2 (1-\cos\alpha)$$

E-scale entendida a ~0.3%

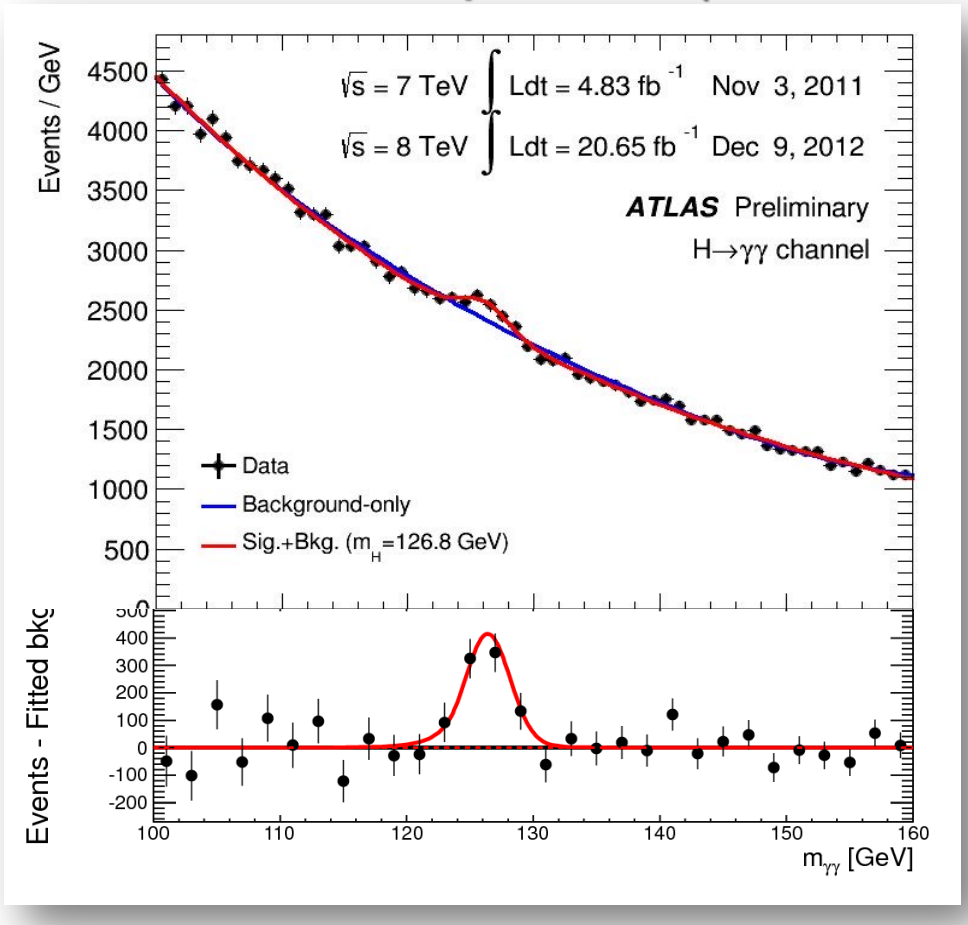
✓ gran resolución angular  $(\sigma_z = 1.5 \text{ cm})$ 

 $\checkmark$  s(m<sub>yy</sub>) = 1.6 GeV

#### Alta pureza

✓ prob ( jet  $\rightarrow \gamma$ ) ~ 10<sup>-4</sup> ✓ eficiencia ~ 90%

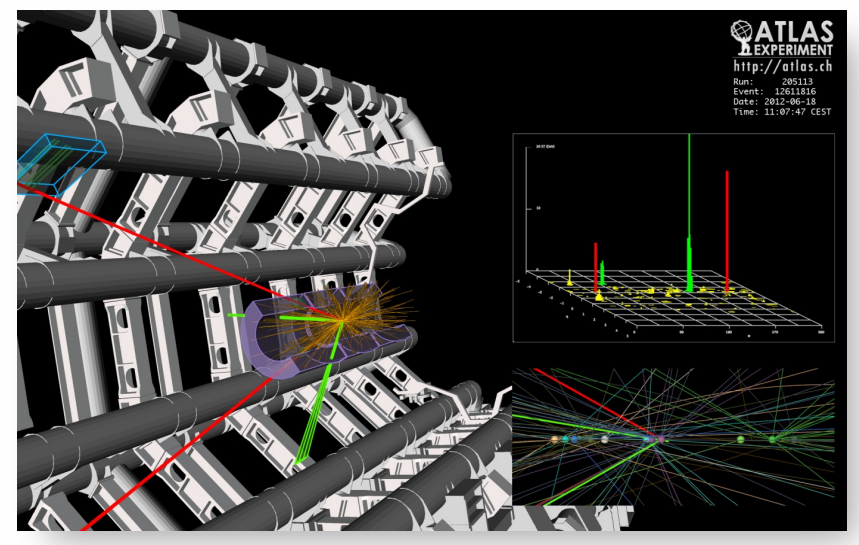
### Un análisis de búsqueda (H → 2 fotones)



 $H \rightarrow ZZ \rightarrow 4$  leptones Run Number: 182796, Event Number: 74566644 Date: 2011-05-30, 06:54:29 CET EtCut>0.3 GeV PtCut>2.0 GeV Vertex Cuts: Z direction <1cm Rphi <1cm Muon: blue Electron: Black Cells: Files, EMC

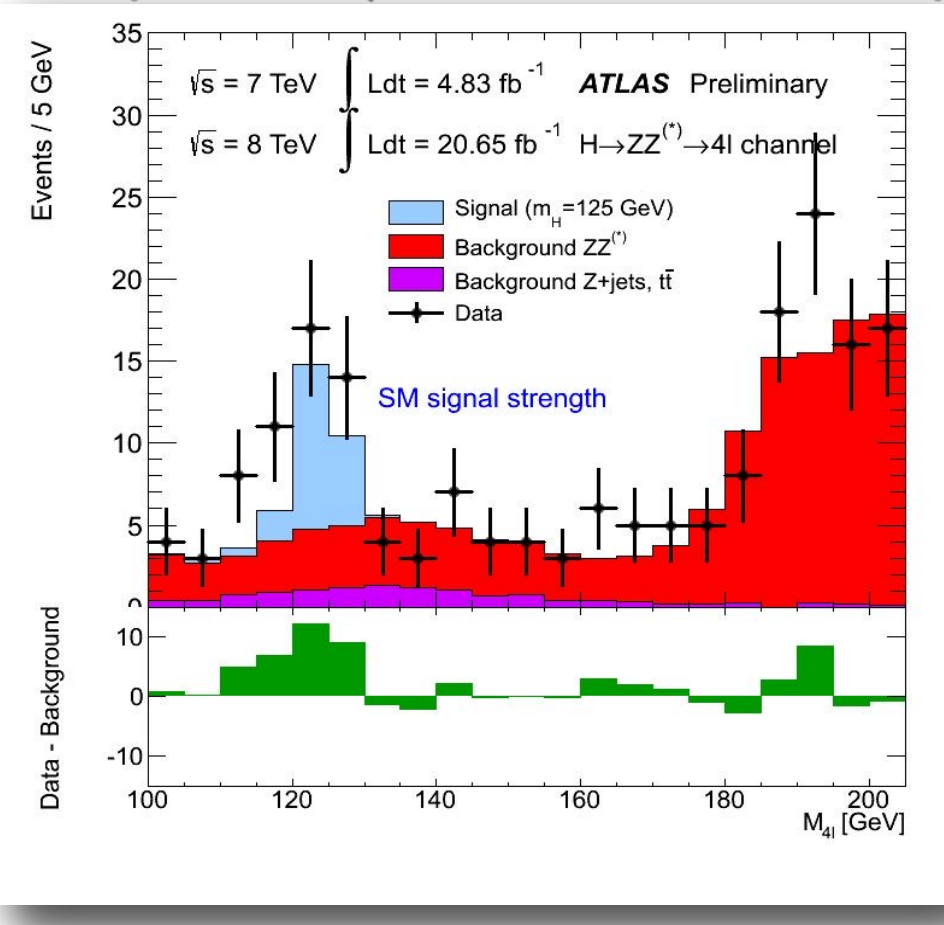
### $H \rightarrow ZZ^* \rightarrow 4I$ (4e, $4\mu$ , $2e2\mu$ )

- 110 < m<sub>H</sub> < 600 GeV</li>
- σ x BR ~ 2.5 fb @ 126 GeV
- 4 leptones (requisitos en masa y momento)
  - Background: ZZ (irreducible)
  - Z+jets, top (bajo control con isolation + "promptness")

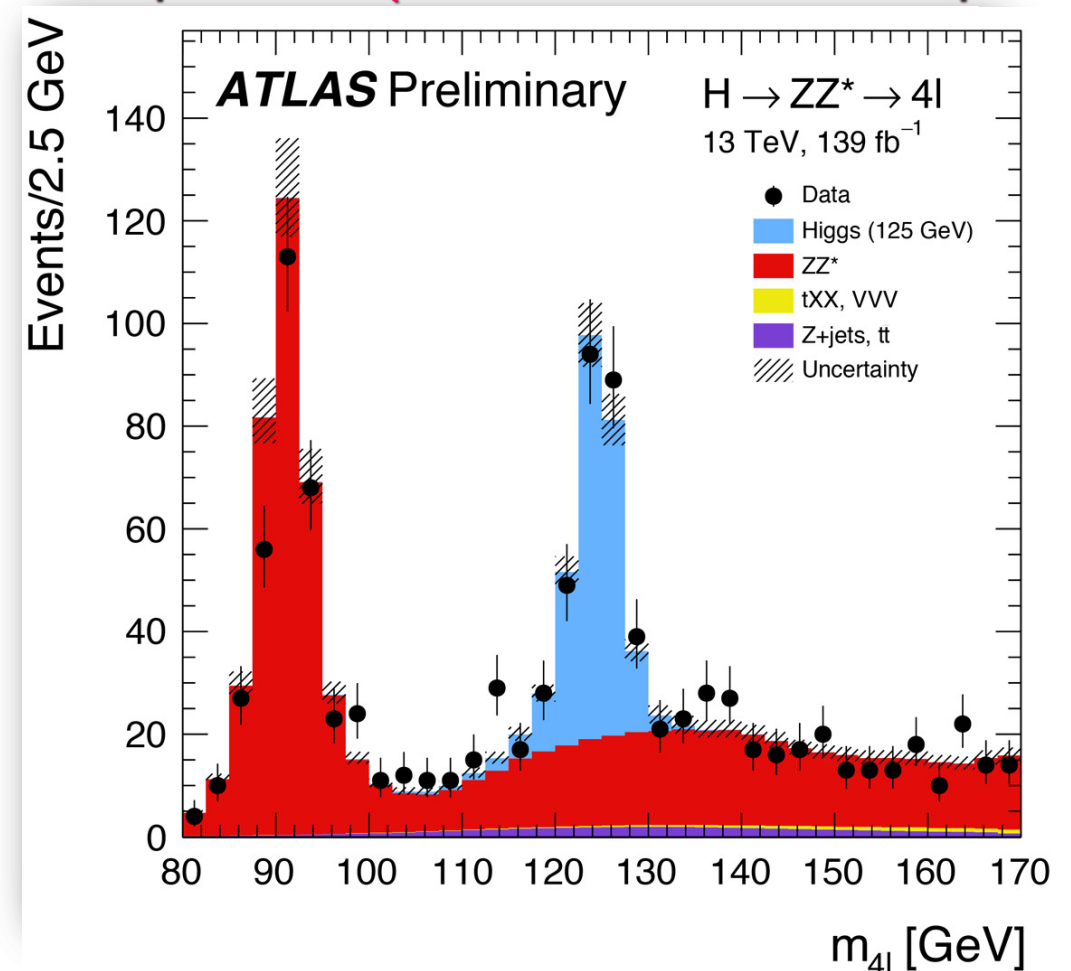


- Características principales
  - Alta aceptancia y eficiencia
  - Gran resolución en energía y momento
  - Canal muy limpio
    - control sobre background instrumental

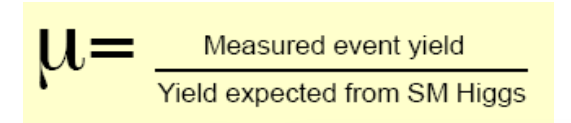
# Otra búsqueda (H → ZZ → 4 leptones)

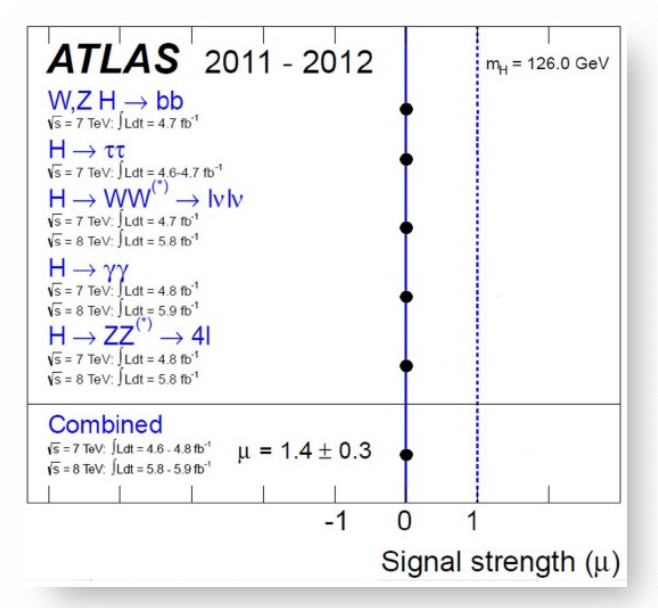


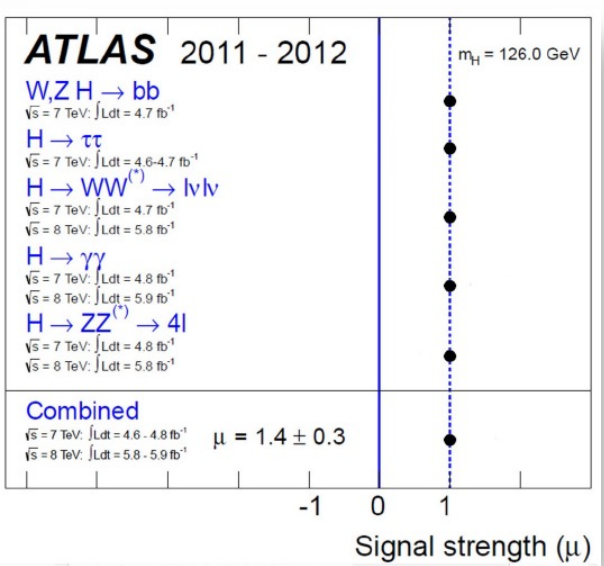
## Otra búsqueda (H → ZZ → 4 leptones)



## ¿Se parece al Modelo Estándar?



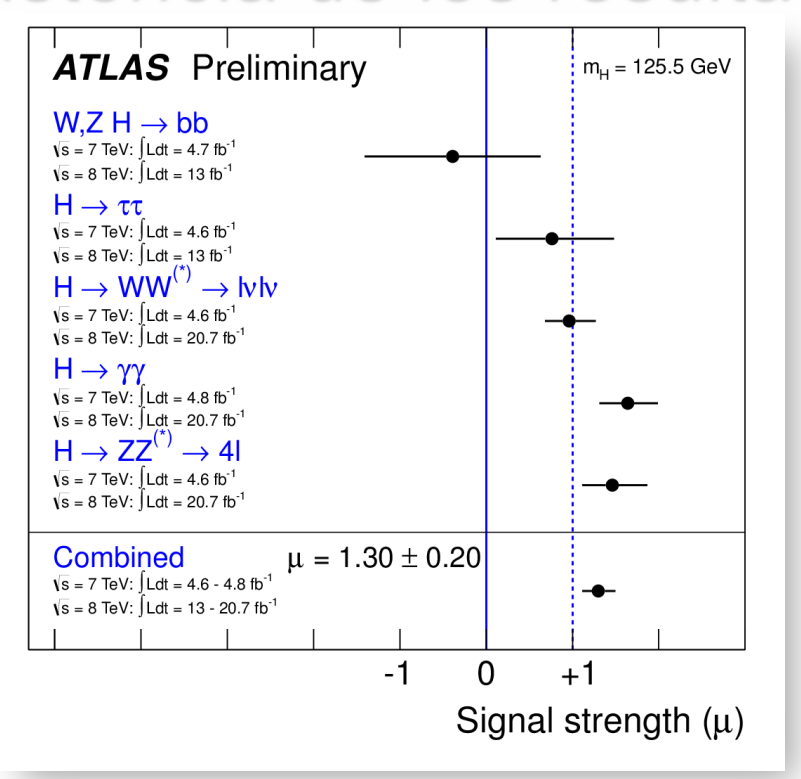




**Sin Higgs** 

**Con Higgs** 

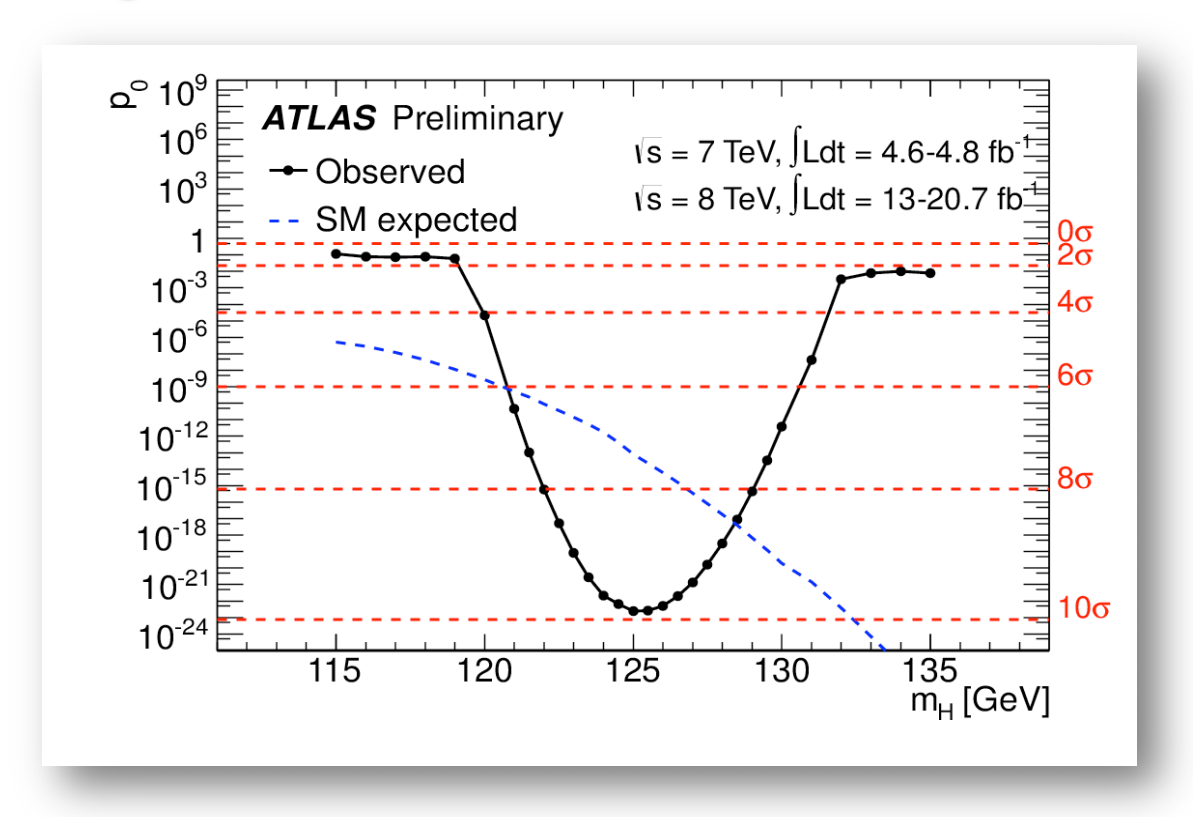
#### Consistencia de los resultados



#### **Consistentes para**

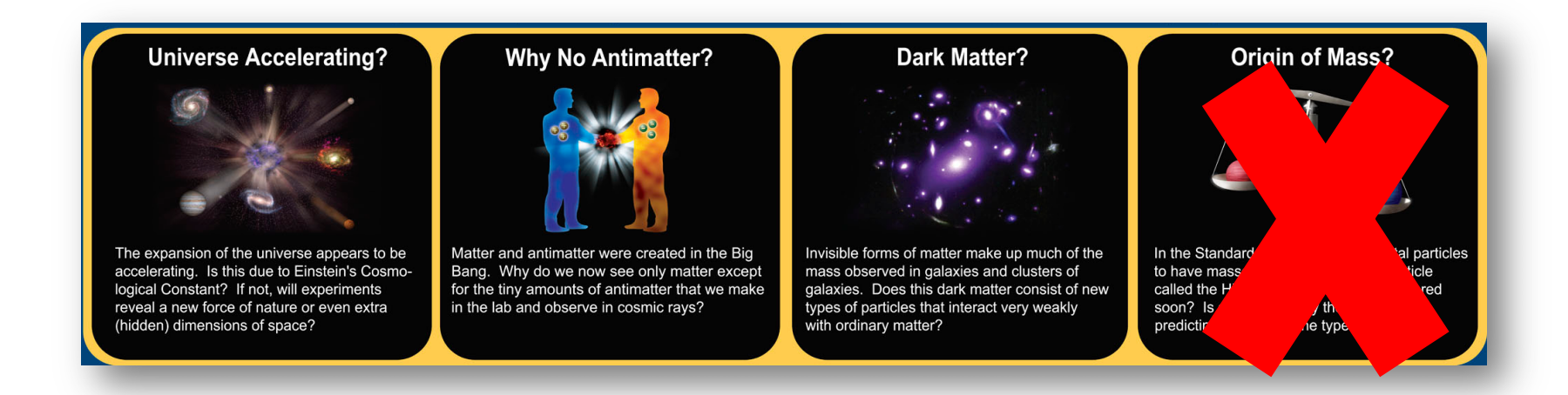
- √ distintos mecanismos de producción
- √ distintos modos de decaimiento

## ¿Una fluctuación azarosa?



Probabilidad de una fluctuación azarosa: 2 x 10<sup>-23</sup>

#### Conclusiones

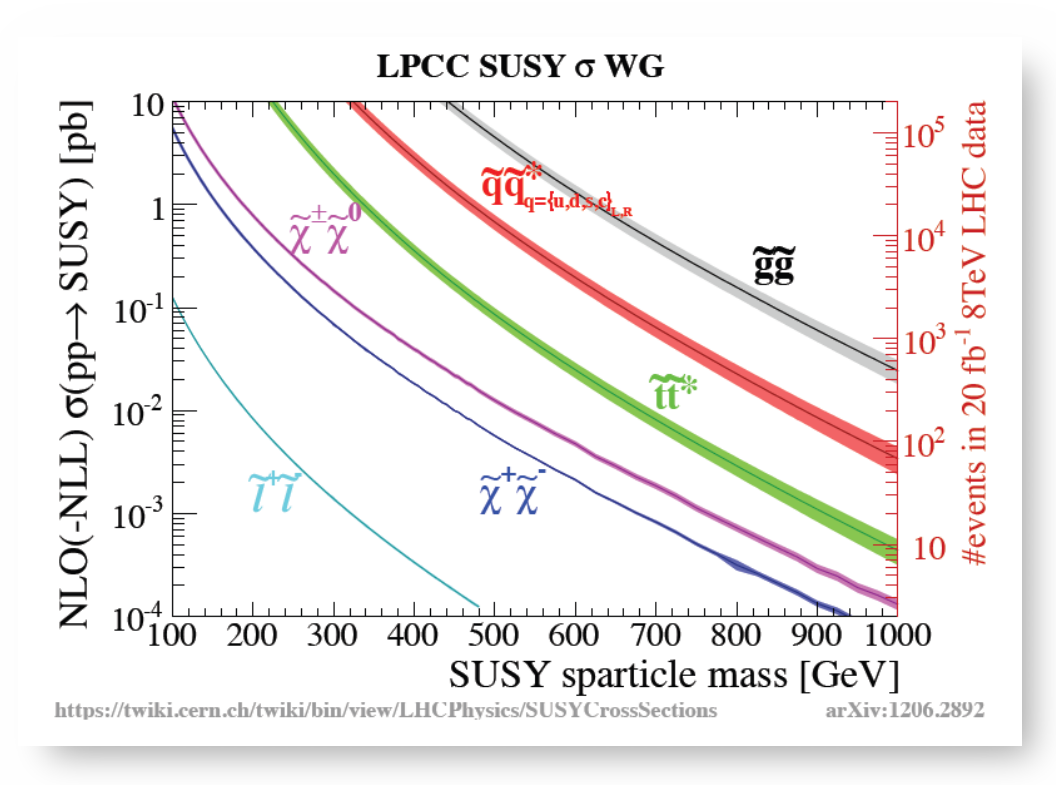


# **Back Up**

# ¿QUÉ HAY MAS ALLÁ DEL MODELO ESTÁNDAR?

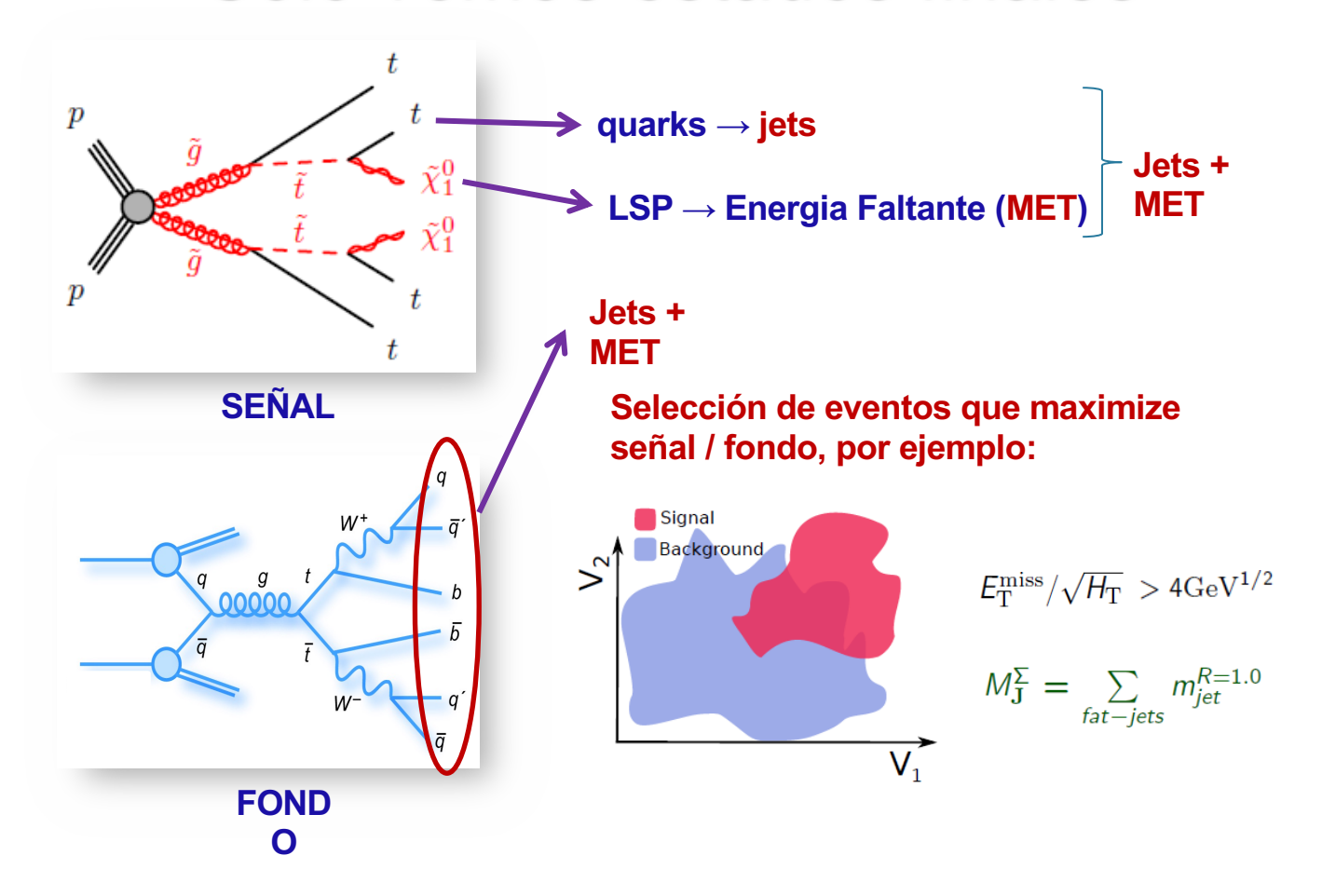
¿ Quién es SUSY? ¿ Dónde esta?

### Producción de SUSY en el LHC

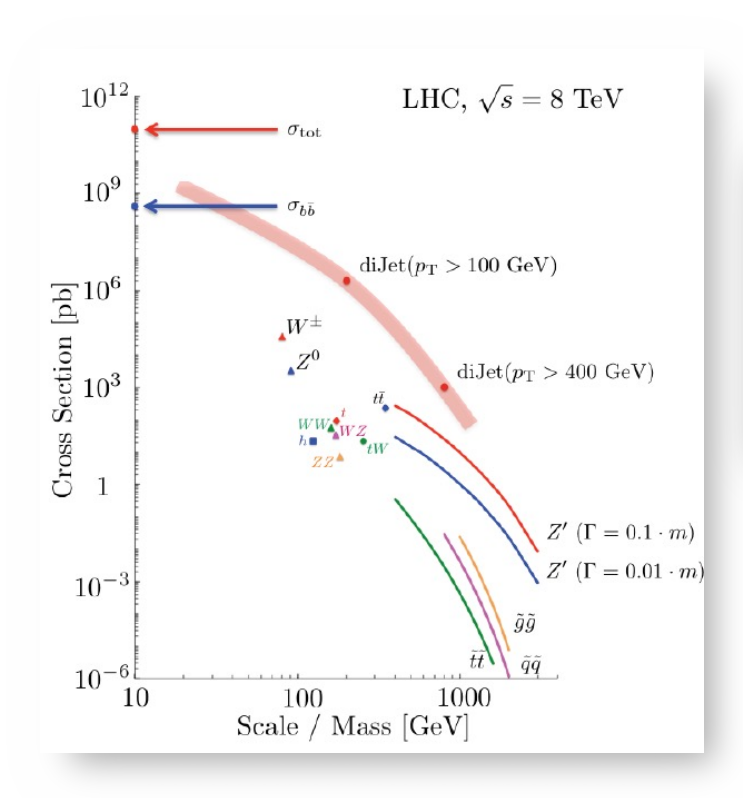


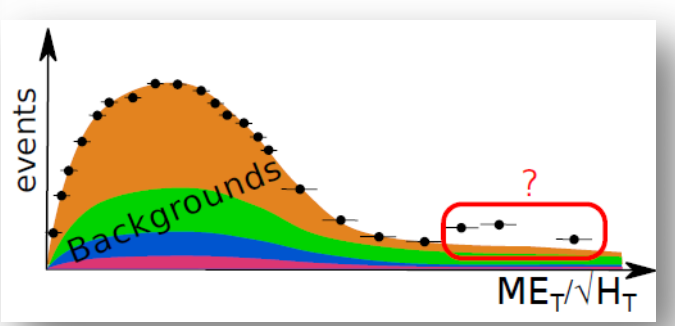
- Si m(gluino)~800 GeV, el LHC ya fabricó 5.000 pares de gluinos
- "Natural" SUSY: los squarks de la 3er generación son los más livianos

### Sólo vemos estados finales



### Determinación de los fondos

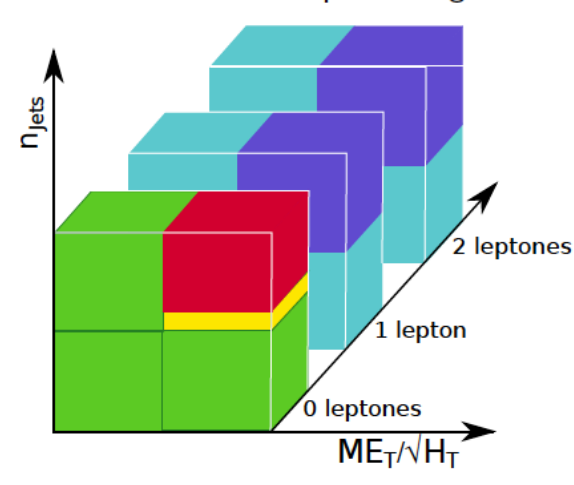




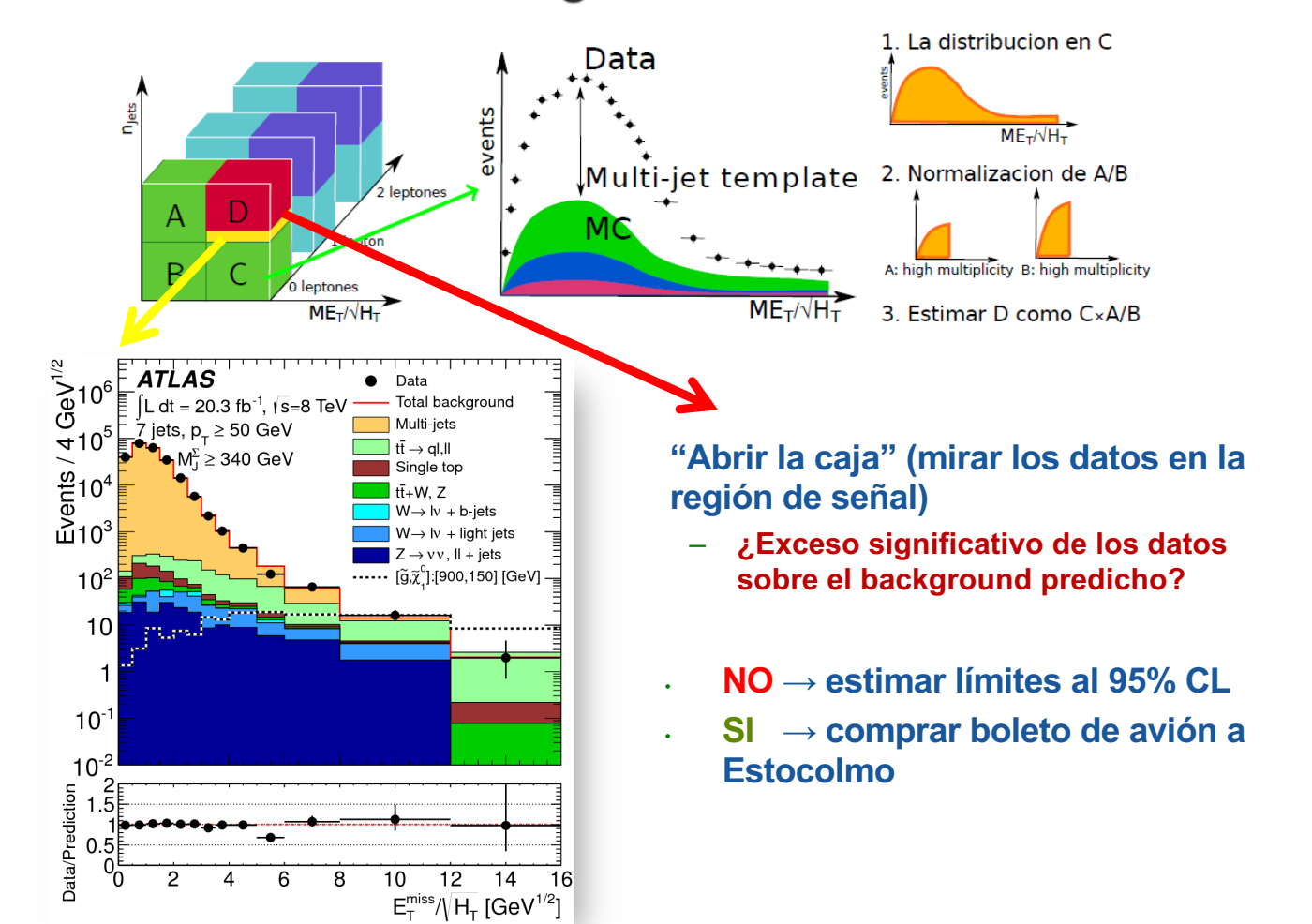
<u>Búsqueda de SUSY</u> = búsqueda de un exceso significativo de los datos sobre el fondo esperado en tails de distribuciones sensibles

#### Determinación de los fondos

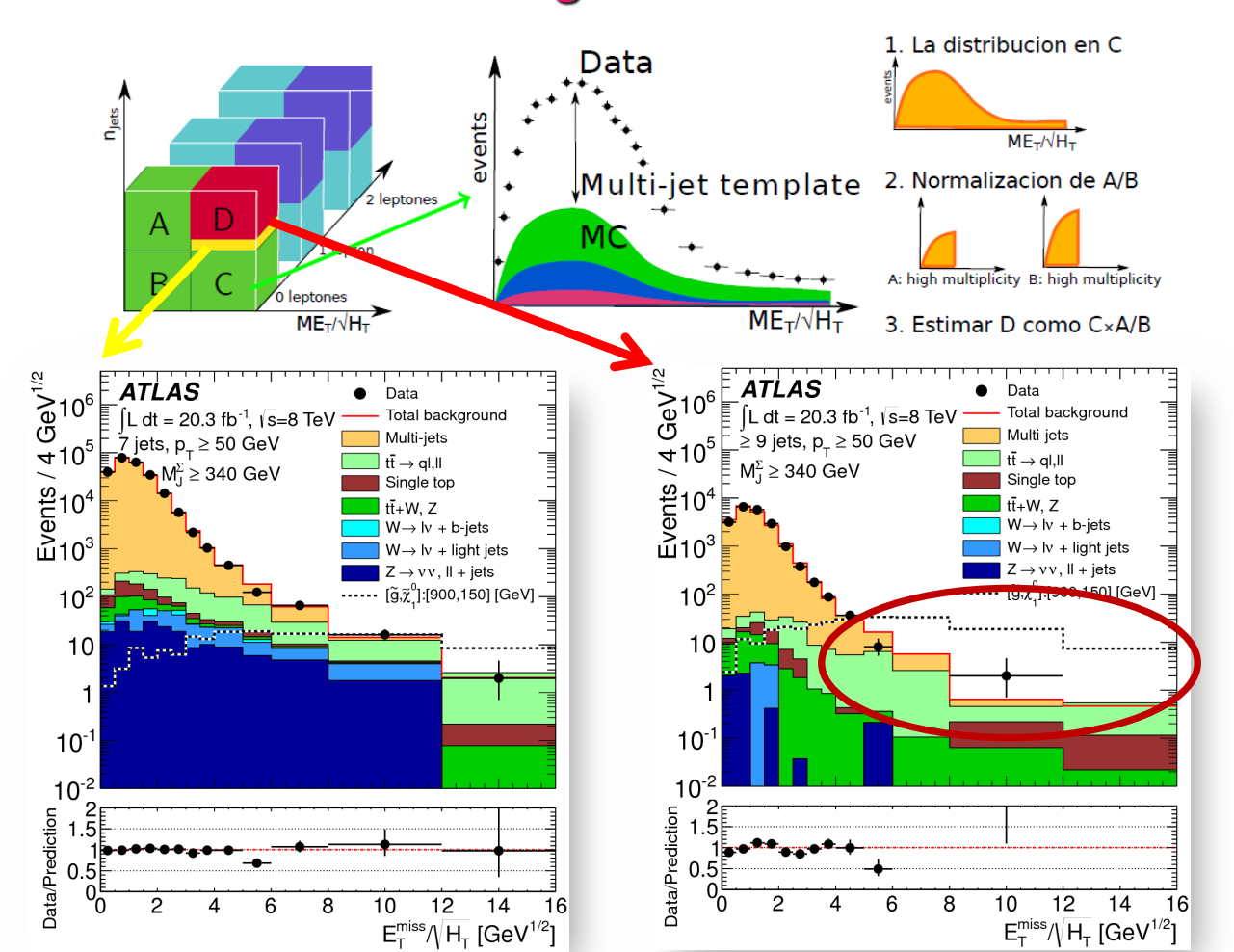
- Obtener la mejor descripción posible del background en regiones donde se espera señal (SR).
- ¿Cómo cuantificar si la predicción es correcta?
  - ¿Comparación datos vs. predicción del BKG en regiones de señal? NO
    - Blinding de los datos.
    - Ajustar la predicción a los datos en las SRs preasume que no existe señal.
  - Comparación datos vs. simulación en regiones de control (multi-jet y 'leptonic').
    - Cinemáticamente similares a las SR pero ortogonales.



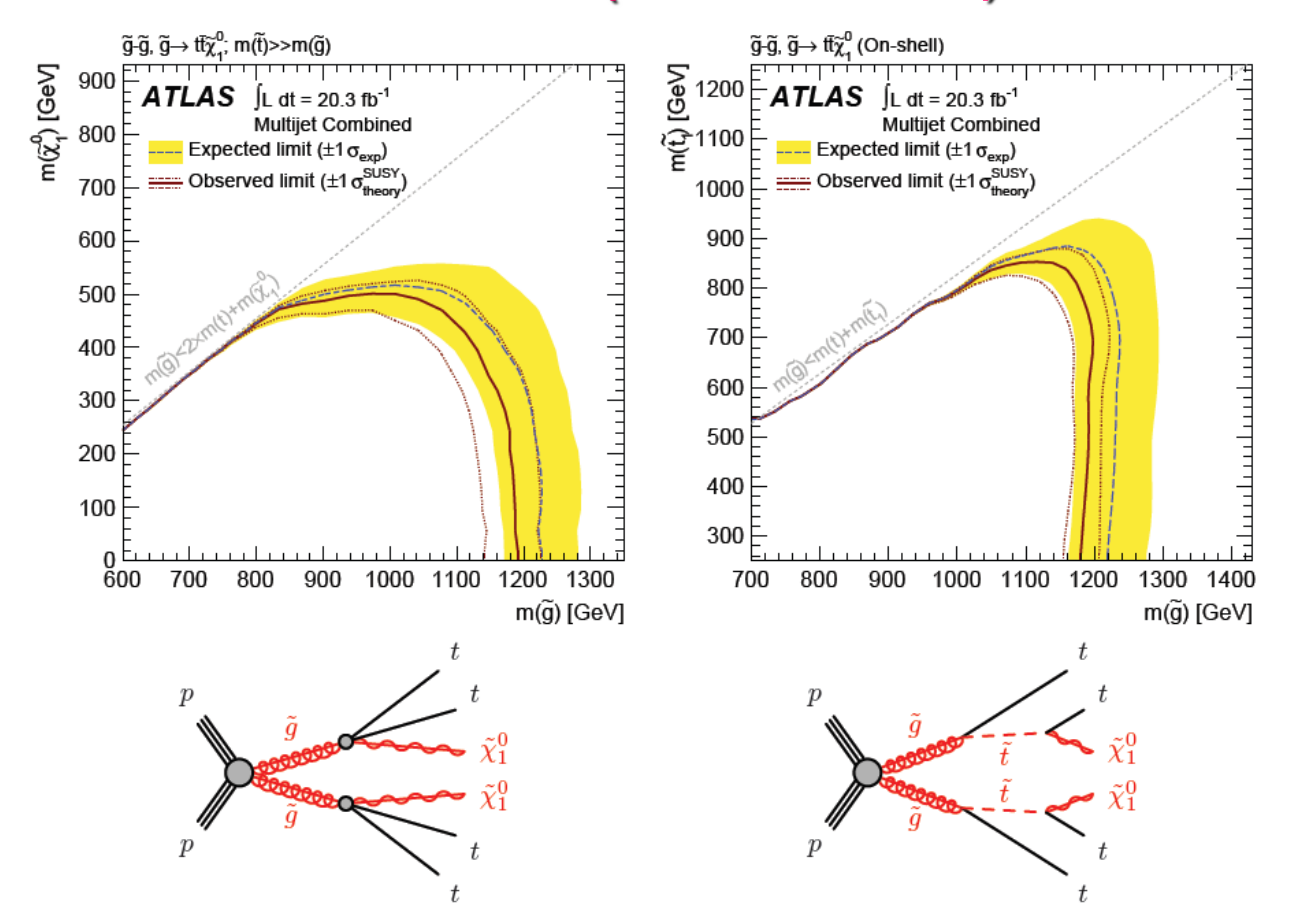
#### Estrategia del análisis



#### Estrategia del análisis



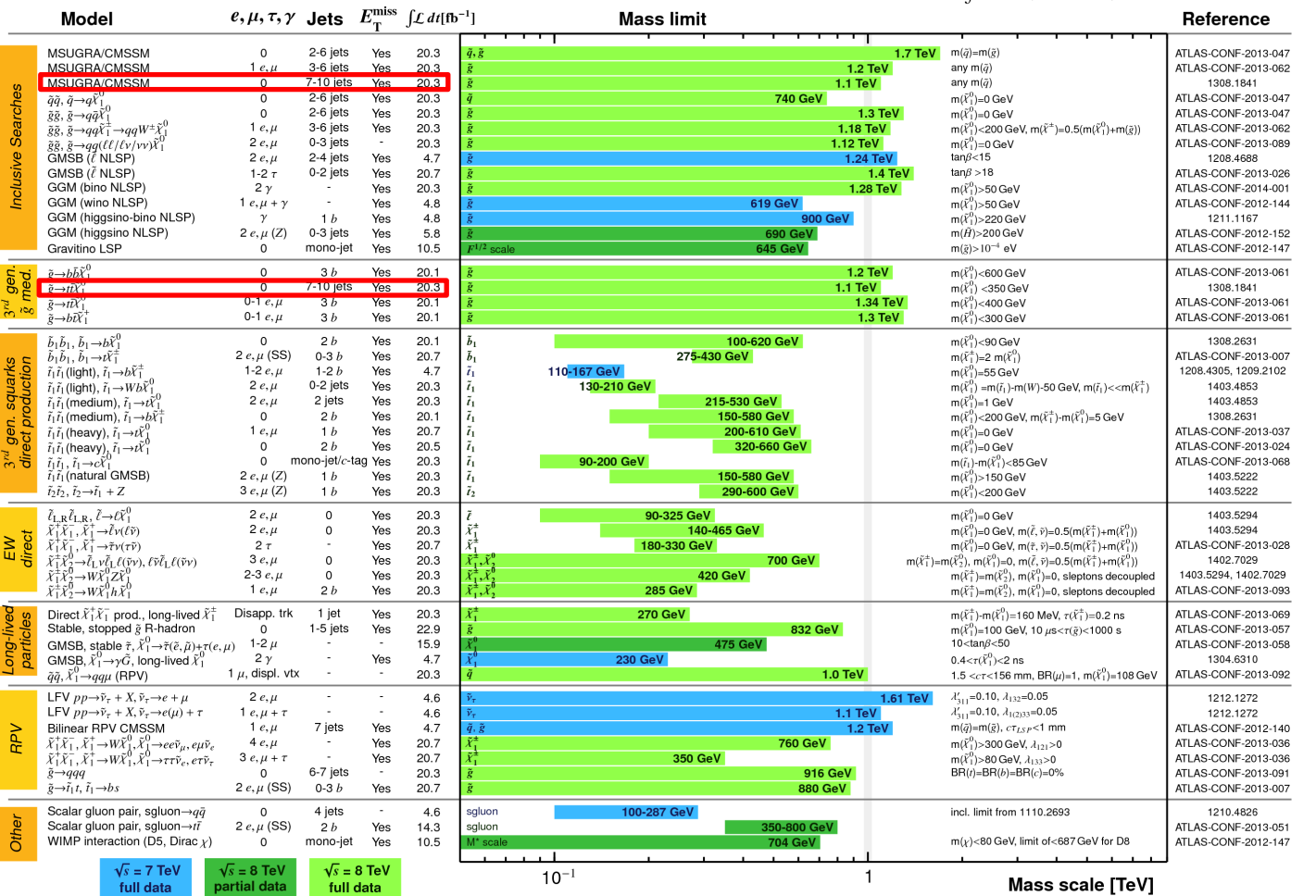
## Limites (Gtt model)



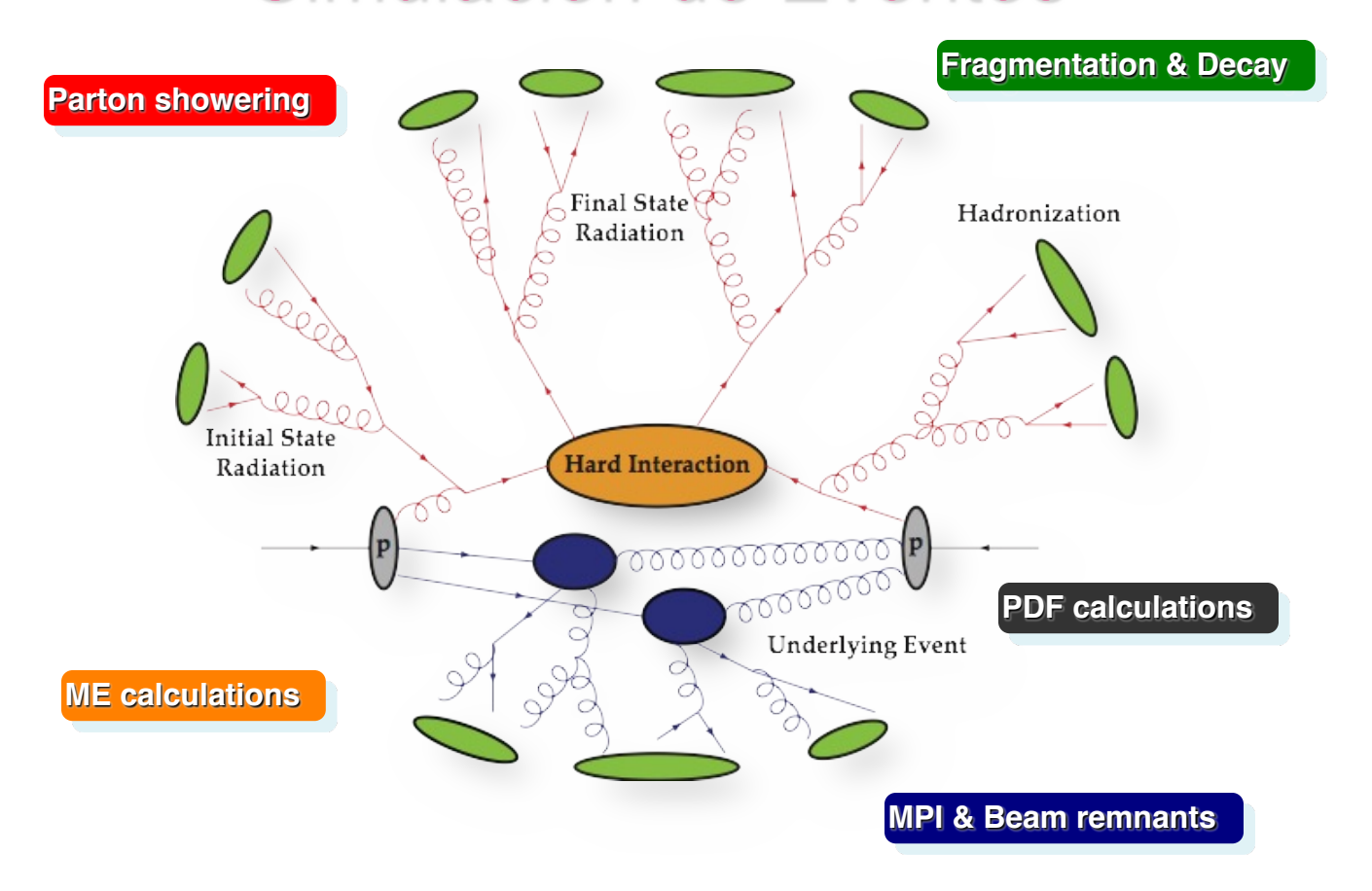
Status: Moriond 2014

 $\int \mathcal{L} dt = (4.6 - 22.9) \text{ fb}^{-1}$ 

 $\sqrt{s}$  = 7, 8 TeV



### Simulación de Eventos

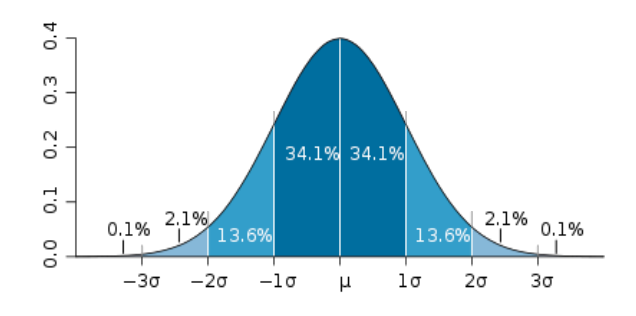


### Intervalos de Confianza(C.I.)

Un intervalo de confianza da un rango estimado de valores que incluyen el verdadero (y desconocido) valor m de un parametro poblacional X

$$\hat{\mu} = \langle X \rangle = \frac{1}{N} \sum_{i=1}^{n} X_{i}$$

 $\hat{\mu} = \langle X \rangle = \frac{1}{N} \sum_{i=1}^{n} X_{i}$  El estimador del verdadero parametro  $\hat{\mu}$  se calcula con la media muestral  $\langle X \rangle$ 



C.I. central para una muestra gaussiana

1σ **→** 68.27%

2σ **→** 95.45%

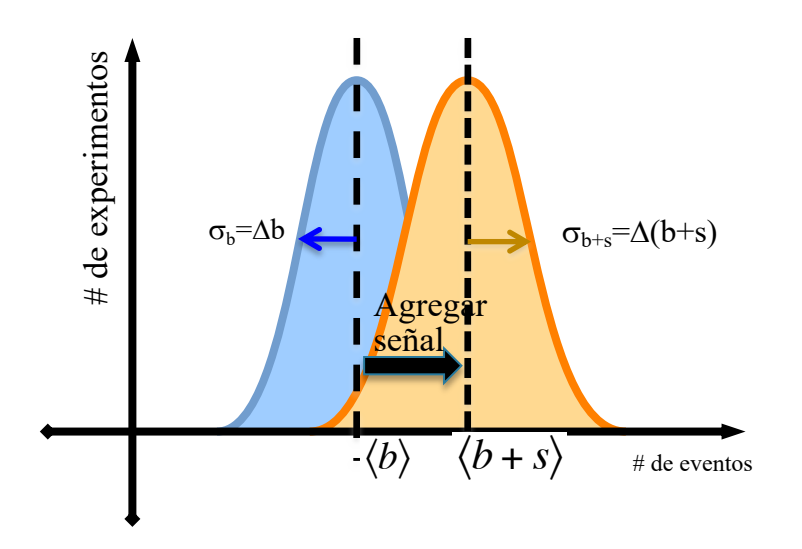
3σ **→** 99.75%

 $5\sigma \rightarrow 99.99994\%$ 

Si repetimos el experimento N veces, el nivel de un intervalo de confianza (C.L. 90%, 95%, 99%, ...) se refiere al número de veces (n/N\*100 experimentos) que el intervalo contiene al valor verdadero

### Límite Esperado

- Generar un ensemble de N experimentos usando la distribución medida de <b>+Δb (<b> es la media poissoniana, Δb es gaussiana)
- "Límite Esperado": máximo # de eventos de señal en la muestra tal que b+s C.I. contenga la predicción del background, <b>, 95% de las veces.



#### Límite Observado:

máximo # de eventos de señal en la muestra tal que b+s C.I. contenga N<sub>obs</sub> 95% de las veces

El límite se traduce en la medición de un observable usando modelos teóricos y acceptance/efficiency de señal

#### Simulation tools

#### **Event Generators**

- General purpose generators (HERWIG, PYTHIA, SHERPA)
  - 1 to 2, 2 to 2, 2 to 3 processes
  - Hadronization
  - Underlying Event
  - Tuned to Tevatron and LHC data
- Matrix Element Generators (ALPGEN, MADGRAPH, MC@NLO)
  - ME expressions for multiparticle final state (LO)
  - Interfaced with parton shower generators for hadronization

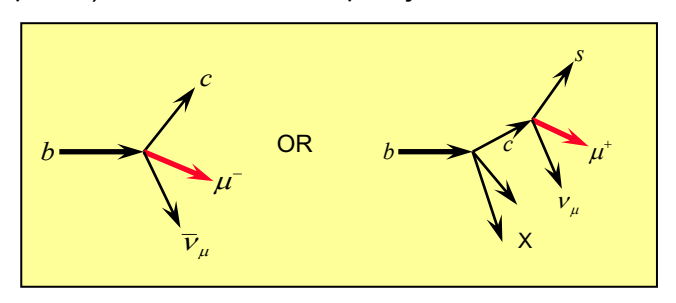
#### **Detector Simulation**

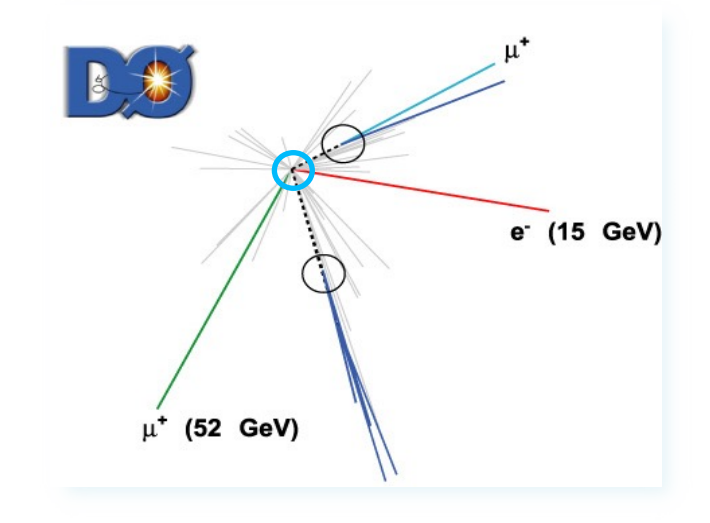
- Fast Simulation
  - Detector response and resolution parameterized
- Full Simulation
  - Passage of particles through detector simulated with GEANT
- Trigger emulation

Simulated events are treated as collider events in data analysis.

### b-jet Identification

- Semileptonic decays of the b-quark
  - − B(b  $\rightarrow$ µ + X) ≈ 20%  $\Rightarrow$  detect µ in jets





- life time  $\approx 1.5 \text{ ps} \Rightarrow c\tau \approx 0.5 \text{ mm}$ 
  - Look for secondary vertices or tracks with large impact parameter w.r.t.

